

Universidade Federal do Rio Grande do Sul

Instituto de Matemática

Programa de Pós-Graduação em Matemática

**A fórmula de Hardy-Ramanujan-Rademacher das partições de um inteiro positivo**

Eduardo Casagrande Stabel

Dissertação de Mestrado

Porto Alegre, 7 de Março de 2007.

Dissertação submetida por Eduardo Casagrande Stabel<sup>1</sup> como requisito parcial para a obtenção do grau de Mestre em Matemática pelo Programa de Pós-Graduação em Matemática do Instituto de Matemática da Universidade Federal do Rio Grande do Sul.

Professor Orientador:

Dr. Artur Oscar Lopes (UFRGS)

Banca Examinadora:

Dr. Alexandre Tavares Baraviera (UFRGS)

Dr. Amílcar Pacheco (UFRJ)

Dr. Eduardo Henrique de Mattos Brietzke (UFRGS)

Data da Apresentação: 7 de Março de 2007.

---

<sup>1</sup>Bolsista do Conselho Nacional de Desenvolvimento Científico e Tecnológico - CNPq

---

# SUMÁRIO

---

<b>1</b>	<b>Introdução</b>	<b>1</b>
1.1	Requisitos mínimos e as fontes do trabalho . . . . .	1
1.2	Um roteiro da demonstração . . . . .	2
<b>2</b>	<b>O caminho de integração</b>	<b>5</b>
2.1	Frações de Farey . . . . .	5
2.2	Círculos de Ford . . . . .	7
2.3	Construção do caminho . . . . .	9
<b>3</b>	<b>A equação funcional de Dedekind</b>	<b>13</b>
3.1	Grupo modular $\Gamma$ . . . . .	13
3.2	Somas de Dedekind . . . . .	14
3.3	A equação funcional . . . . .	17
3.3.1	Casos $T$ e $S$ . . . . .	17
3.3.2	Caso geral . . . . .	20
3.4	A equação funcional em termos de $F(x)$ . . . . .	22
<b>4</b>	<b>A demonstração final</b>	<b>24</b>

---

# AGRADECIMENTOS

---

Agradeço aos professores (da banca) Alexandre Baraviera, Eduardo Brietzke e Amílcar Pacheco pelas correções em pontos da dissertação e/ou pela ajuda na compreensão das demonstrações. Agradeço também ao professor Luiz Fernando Rocha por haver estudado o assunto em meu auxílio.

Também agradeço ao professor Artur Lopes pela paciência, orientação e sincera preocupação comigo ao longo de toda a graduação e o mestrado. Muito obrigado!

Em especial, agradeço a minha mãe, que me apoiou de todas as formas que estavam ao seu alcance nos meus inúmeros (!) interesses durante a vida (quais mais virão?). Em particular, na minha participação nas olimpíadas de matemática (tarefa que se mostrou difícil) e na minha escolha da matemática como carreira. Você é muito especial para mim e desejo toda a felicidade para sua vida!

Finalmente, e não menos importante, agradeço a todos (amigos e mestres) aqueles que me inspiraram de alguma forma a ser uma pessoa melhor e, conseqüentemente, me ajudaram a ver a matemática como um meio pelo qual o bem pode ser realizado...

## Resumo

Neste trabalho será obtida a série de Rademacher que determina o valor para a função partição irrestrita  $p(n)$ . Será usado o método do círculo com o caminho de integração descrito através dos círculos de Ford; e será demonstrada a equação funcional de Dedekind — peça chave na demonstração — para a função eta de Dedekind  $\eta(\tau)$ .

### **Abstract**

In this work, we prove the Rademacher's series for the unrestricted partition function. We will use the circle method described through the Ford circles; and the Dedekind's functional equation for the Dedekind eta function  $\eta(\tau)$  — a key element in the proof — is also obtained.

---

# CAPÍTULO 1

## INTRODUÇÃO

---

Em matemática, quando se subdivide algo em partes menores, é costume se utilizar o termo *partição*. No contexto que será trabalhado aqui, uma partição é uma expressão de um inteiro positivo  $n$  como soma de inteiros positivos quaisquer, sendo irrelevante a ordem em que as parcelas são somadas. Estaremos interessados em determinar a quantidade de partições que possui um dado  $n$ . Mais formalmente:

**Definição 1.1.** Dado  $n > 0$  um inteiro, denota-se por  $p(n)$  à quantidade de seqüências finitas ordenadas de inteiros positivos  $(a_1, \dots, a_k)$  que satisfazem às propriedades  $a_1 \geq \dots \geq a_k$  e  $n = \sum_{i=1}^k a_i$ . Por convenção, define-se  $p(0) = 1$ .

**Exemplo 1.1.** O número inteiro 4 possui as seguintes partições

$$\begin{aligned} 4 &= 4 \\ &= 3 + 1 \\ &= 2 + 2 \\ &= 2 + 1 + 1 \\ &= 1 + 1 + 1 + 1, \end{aligned}$$

portanto  $p(4) = 5$ . Alguns outros valores da função partição são  $p(10) = 42$  e  $p(100) = 190569292$ .

Costuma-se denominar também de função partição irrestrita à função  $p(n)$  que acabamos de definir, pelo fato de não termos exigido qualquer tipo de restrição nas parcelas das somas. A função partição cresce muito rapidamente. Uma expressão assintótica para ela é a seguinte:

$$p(n) \sim \frac{1}{4n\sqrt{3}} e^{\pi\sqrt{2n/3}}.$$

Lembramos que isto significa que o quociente (a divisão) entre as duas funções tende a 1 quando  $n$  tende ao infinito; neste caso, elas são ditas assintoticamente equivalentes.

Neste trabalho, demonstraremos uma expressão exata para  $p(n)$ . Ela foi demonstrada pelo matemático RADEMACHER, no ano de 1937, quando preparava notas de aula sobre o trabalho conjunto dos matemáticos HARDY e RAMANUJAN, realizado cerca de duas décadas antes. A expressão (bastante complicada) envolve o número  $\pi$ , raízes quadradas, raízes complexas da unidade, derivadas de funções hiperbólicas e uma série.

### 1.1 Requisitos mínimos e as fontes do trabalho

Na parte final deste capítulo será exibido um roteiro de toda a dissertação. Como veremos, para o cálculo de  $p(n)$ , teremos de calcular a integral de uma função de variável complexa. O caminho de integração é descrito no Capítulo 2, e envolve conhecimentos de matemática elementar. Utilizaremos a equação

funcional de Dedekind, demonstrada no Capítulo 3, para podermos calcular a integral que mencionamos. São utilizados conhecimentos de variável complexa: um conhecimento sobre os zeros e pólos das funções trigonométricas; a convergência do produtório infinito de funções analíticas; a teoria dos resíduos de Cauchy. Uma referência da bibliografia é [5]. Também será utilizado o teorema da convergência limitada de Arzelà (conferir [6, página 405]). Neste capítulo, também se estuda o grupo modular. Finalmente, no Capítulo 4, demonstra-se o resultado.

A fonte principal de pesquisa para a dissertação é [7]. Mais sobre a história deste resultado está na referência [3, capítulo 5]. Mais sobre o grupo modular pode ser estudado em [4].

## 1.2 Um roteiro da demonstração

A ferramenta mais fundamental no estudo das partições tem demonstrado ser a função geradora. No caso da função partição  $p(n)$ , a *função geradora* é a seguinte série formal:  $F(x) = \sum_{n=0}^{\infty} p(n)x^n$ . Felizmente  $F$  é mais do que uma série formal em  $x$ .

**Teorema 1.1** (Euler). *O somatório que define  $F(x)$  converge se  $|x| < 1$  e além disso vale a igualdade*

$$F(x) = \prod_{m=1}^{\infty} \frac{1}{(1-x^m)}.$$

*Em particular, a função  $F(x)$  é analítica em  $|x| < 1$ .*

Antes da demonstração, uma observação. Um resultado tradicional de variável complexa (ver referência [5], página 163) diz o seguinte

**Lema 1.1.** *Seja  $G$  uma região de  $\mathbb{C}$  e  $\{f_n\}$  uma seqüência de funções analíticas em  $G$ , nenhuma delas identicamente nula. Se  $\sum_{n=1}^{\infty} [f_n(z) - 1]$  converge absoluta e uniformemente nos subconjuntos compactos de  $G$  então  $\prod_{n=1}^{\infty} f_n(z)$  converge para uma função analítica  $f(z)$ . Mais ainda, se  $a$  é um zero de  $f$  então  $a$  é zero de somente um número finito das  $f_n$  e a multiplicidade de  $a$ , como zero de  $f$ , é igual a soma das multiplicidades de  $a$ , como zero dessas  $f_n$  das quais  $a$  é zero.*

Este resultado garante que o produtório  $\prod_{n=1}^{\infty} (1-x^n)$  converge para uma função analítica definida no disco unitário  $|x| < 1$ , pois o somatório  $\sum_{n=1}^{\infty} x^n$  — a série geométrica — converge absoluta e uniformemente nas partes compactas do domínio  $|x| < 1$ . Mais ainda, como nenhuma das funções  $(1-x^n)$  tem um zero em  $|x| < 1$ , o produtório  $\prod_{n=1}^{\infty} (1-x^n)$  é não-nulo para todo  $x$  que satisfaz  $|x| < 1$ . Portanto  $\prod_{m=1}^{\infty} \frac{1}{(1-x^m)}$  é também analítica em  $|x| < 1$ , sem raízes. Agora vamos à demonstração do Teorema 1.1:

**Demonstração:** Consideremos, sem perda de generalidade, que  $0 < x < 1$  e que  $x$  está fixado a partir deste ponto. Truncamos a expressão do produtório em  $m = k$ , daí a expressão  $\prod_{m=1}^k \frac{1}{(1-x^m)}$  pode ser pensada como

$$\begin{aligned} \prod_{m=1}^k \frac{1}{(1-x^m)} &= \prod_{m=1}^k \left( \sum_{n=0}^{\infty} x^{nm} \right) = \prod_{m=1}^k (1 + x^m + x^{2m} + x^{3m} + \dots) \\ &= (1 + x^1 + x^2 + x^3 + \dots) \\ &\times (1 + x^2 + x^4 + x^6 + \dots) \\ &\times \dots \times \\ &\times (1 + x^k + x^{2k} + x^{3k} + \dots). \end{aligned}$$

Como cada série  $\sum_{n=0}^{\infty} x^{nm}$  converge absolutamente, podemos efetuar o produto termo a termo do produtório acima e somar em qualquer ordem. O resultado pode ser expresso como uma série de potências em  $x$ ,  $\sum_{i=0}^{\infty} c_i x^i$ .



Vamos identificar quem são os coeficientes  $c_i$ . Eles estão ligados às partições. Tem-se  $c_0 = 1 = p(0)$ . Afirimo que  $p(1) = c_1, p(2) = c_2, \dots, p(k) = c_k$  e que  $c_i \leq p(i)$  se  $i > k$ . De fato, pois o produtório resultará num somatório de todos os termos do tipo  $x^{i_1 1 + i_2 2 + \dots + i_k k}$ , onde cada  $i_m$  é livremente um número inteiro  $\geq 0$ . Portanto o coeficiente de  $x^i$  — que é  $c_i$  — será igual à quantidade de maneiras de se escrever  $i$  como soma dos números  $1, 2, \dots, k$  — possivelmente com repetições. Logo  $c_i \leq p(i)$ , valendo a igualdade para  $i \leq k$ , pois todas as partições de  $1, 2, \dots, k$  só envolvem termos  $\leq k$ .

Por um lado, já que  $c_i = p(i)$  se  $i \leq k$ , temos

$$\sum_{n=0}^k p(n)x^n = \sum_{n=0}^k c_n x^n < \sum_{n=0}^{\infty} c_n x^n = \prod_{m=1}^k \frac{1}{(1-x^m)} \leq \prod_{m=1}^{\infty} \frac{1}{(1-x^m)} < \infty.$$

Como  $\prod_{m=1}^{\infty} \frac{1}{(1-x^m)}$  é finito (conseqüência da observação feita antes de começar a demonstração) e independente de  $k$ , a seqüência  $\{\sum_{n=0}^k p(n)x^n\}_k$  é limitada. Ela também é crescente pois  $p(n)x^n > 0$ . Logo, deve convergir. Isto implica que

$$\sum_{n=0}^{\infty} p(n)x^n \leq \prod_{m=1}^{\infty} \frac{1}{(1-x^m)}.$$

Por outro lado, pelo fato de que  $c_i \leq p(i)$ ,

$$\sum_{n=0}^{\infty} p(n)x^n \geq \sum_{n=0}^{\infty} c_n x^n = \prod_{m=1}^k \frac{1}{(1-x^m)},$$

podemos tomar o limite em  $k$ , obtendo

$$\sum_{n=0}^{\infty} p(n)x^n \geq \prod_{m=1}^{\infty} \frac{1}{(1-x^m)}.$$

O que implica que para  $0 < x < 1$  vale a igualdade  $\sum_{n=0}^{\infty} p(n)x^n = \prod_{m=1}^{\infty} \frac{1}{(1-x^m)}$ . Como a série de potências  $F(x) = \sum_{n=0}^{\infty} p(n)x^n$  é convergente para  $0 < x < 1$ , seu raio de convergência é pelo menos 1, logo ela é convergente para qualquer complexo  $x$  que satisfaz  $|x| < 1$ . Portanto  $F(x)$  é analítica em  $|x| < 1$ . Pela observação anterior à demonstração,  $\prod_{m=1}^{\infty} \frac{1}{(1-x^m)}$  também é analítica em  $|x| < 1$ . Como essas duas funções analíticas coincidem no segmento real  $(0, 1)$  — que possui pontos de acumulação — elas devem coincidir em todo o domínio  $|x| < 1$ , o que conclui a demonstração.  $\square$

A fórmula de Euler fornece uma expressão, de certa forma, mais simples da função  $F(x)$  do que a expressão original que envolvia os  $p(n)$ . A teoria dos resíduos de Cauchy permite calcular os coeficientes da expansão analítica de  $F(x)$  — o coeficiente de  $x^n$  é precisamente quem queremos calcular,  $p(n)$ . Esta será a abordagem. Escrevemos

$$\frac{F(x)}{x^{n+1}} = \sum_{k=0}^{\infty} \frac{p(k)x^k}{x^{n+1}}$$

para  $0 < |x| < 1$ . Esta última série é a expansão de Laurent de  $F(x)/x^{n+1}$  no disco perfurado  $0 < |x| < 1$ . Esta função possui um pólo de ordem  $n+1$  em  $x=0$  cujo resíduo (coeficiente de  $x^{-1}$ ) é  $p(n)$ , portanto pelo teorema dos resíduos de Cauchy, para qualquer curva bem comportada  $C$  em  $0 < |x| < 1$  que dá uma volta em torno da origem e é orientada positivamente

$$p(n) = \frac{1}{2\pi i} \int_C \frac{F(x)}{x^{n+1}} dx.$$

É preciso encontrar uma curva adequada  $C$  que nos possibilite calcular efetivamente essa integral. O método do círculo consiste em escolher uma curva próxima aos pontos tais que  $x=1, x^2=1, x^3=1, \dots$ , que anulam os denominadores do produtório de  $F(x)$ , dado pela expressão de Euler. O método do círculo escolhe uma (na verdade, uma para cada  $N$  inteiro positivo) curva  $C = C_N$  de “raio” aproximadamente 1 que é dividida em curvas  $\gamma(h, k)$  perto da raiz da unidade  $e^{2\pi i h/k}$ , onde  $(h/k)$  percorre todas as frações

irredutíveis de denominador  $\leq N$  do intervalo  $[0, 1]$  — essas são as chamadas frações de Farey de ordem  $N$ . A integral ao longo de  $C = C_N$  pode ser escrita como uma soma de integrais ao longo desses arcos

$$\int_C \frac{F(x)}{x^{n+1}} dx = \sum_{(h,k)=1, 0 < k \leq N} \int_{\gamma(h,k)} \frac{F(x)}{x^{n+1}} dx.$$

Em cada arco  $\gamma(h, k)$ , a função  $F(x)$  no integrando é substituída por uma função elementar  $\Psi_{(h,k)}(x)$ , que tem essencialmente o mesmo comportamento de  $F(x)$  perto de  $e^{2\pi ih/k}$ . Esta função elementar  $\Psi_{(h,k)}$  surge naturalmente da equação funcional satisfeita pela função eta de Dedekind  $\eta(\tau)$ . As funções  $F$  e  $\eta$  estão relacionadas pela equação

$$F(e^{2\pi i\tau}) = e^{\pi i\tau/12} / \eta(\tau),$$

e a equação funcional para  $\eta$  dá uma fórmula que descreve o comportamento de  $F$  perto de cada raiz da unidade  $e^{2\pi ih/k}$ . A substituição de  $F$  por  $\Psi_{(h,k)}$  tem um erro, que precisa ser estimado. Finalmente, as integrais de  $\Psi_{(h,k)}$  ao longo de  $\gamma(h, k)$  são calculadas, e suas somas ao longo dos  $h$ 's são termos  $R_k(n)$  da série de Rademacher, que dá a expressão para a partição

$$p(n) = \sum_{k=1}^{\infty} R_k(n).$$

Em 1943 (6 anos depois de Rademacher ter obtido este resultado pela primeira vez), ele próprio modificou o método do círculo, substituindo o caminho  $C$  por um outro caminho do plano  $\tau$ , através da mudança de variáveis  $x = e^{2\pi i\tau}$ . Este novo caminho usa os círculos de Ford e uma importante propriedade que os relaciona às frações de Farey — algo que só foi estudado em 1938, um ano após o primeiro resultado de Rademacher. Este caminho de integração é o que será utilizado aqui.

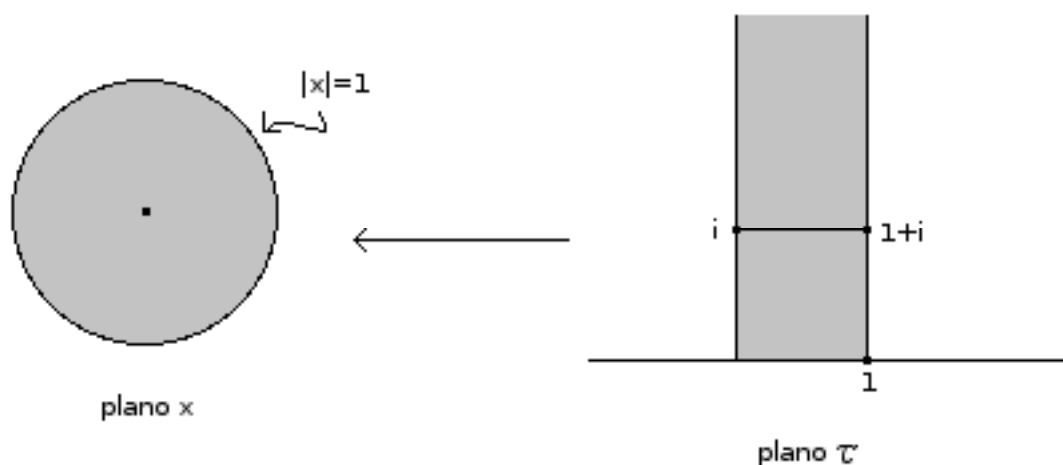
---

## CAPÍTULO 2

# O CAMINHO DE INTEGRAÇÃO

---

O caminho de integração  $C$  utilizado para o cálculo de  $\int_C \frac{F(x)}{x^{n+1}} dx$  não será descrito diretamente em  $|x| < 1$ . Ele será descrito no semi-plano superior  $H = \{\tau \in \mathbb{C} : \Im(\tau) > 0\}$ . A mudança de variáveis  $\tau \mapsto x = e^{2\pi i\tau}$  aplica uma faixa de largura 1 do semi-plano superior  $H$  no disco perfurado  $0 < |x| < 1$ , como mostra a figura abaixo.



A construção do caminho é muito interessante. O caminho ligará os pontos  $i$  e  $i+1$  do plano  $\tau$  e todo seu interior pertencerá ao quadrado de vértices  $0, 1, i+1$  e  $i$ . Na verdade, para cada  $N$  inteiro positivo construiremos um caminho  $C = C_N$ . Serão desenhados vários círculos que se tangenciam desde  $i$  até  $i+1$ , dentro deste quadrado. Os arcos superiores desses círculos serão escolhidos e este será o caminho — passando de um arco para outro através dos pontos de tangência. Cada círculo — usado para construir  $C_N$  — está ligado a uma fração irredutível do intervalo unitário  $[0, 1]$  — uma das frações de Farey de ordem  $N$ .

Nosso estudo, neste capítulo, será primeiro das frações de Farey, depois dos círculos de Ford e por fim a apresentação do caminho de integração.

### 2.1 Frações de Farey

**Definição 2.1.** O conjunto das frações de Farey de ordem  $n$ , denotado por  $F_n$ , é a seqüência finita ordenada de todas as frações irredutíveis do intervalo fechado  $[0, 1]$ , cujos denominadores são  $\leq n$ , listadas em ordem crescente.

**Exemplo 2.1.** Vejamos alguns exemplos ilustrativos.

$$F_1: \left(\frac{0}{1}, \frac{1}{1}\right) \quad F_2: \left(\frac{0}{1}, \frac{1}{2}, \frac{1}{1}\right) \quad F_3: \left(\frac{0}{1}, \frac{1}{3}, \frac{1}{2}, \frac{2}{3}, \frac{1}{1}\right) \quad F_4: \left(\frac{0}{1}, \frac{1}{4}, \frac{1}{3}, \frac{1}{2}, \frac{2}{3}, \frac{3}{4}, \frac{1}{1}\right)$$

Os conjuntos  $F_n$  crescem com  $n$ , isto é,  $F_n \subset F_{n+1}$ . Há mais duas propriedades sobre as frações de Farey que serão necessárias. Dois lemas serão provados inicialmente como auxílio para a prova do teorema central deste seção. Antes uma definição:

**Definição 2.2.** Dadas duas frações racionais irredutíveis  $a/b < c/d$ , com  $b > 0$  e  $d > 0$ , a fração mediante das duas é definida como  $(a+c)/(b+d)$ .

**Lema 2.1.** Sejam  $a/b < c/d$  duas frações irredutíveis. A fração mediante das duas está entre elas, isto é,

$$\frac{a}{b} < \frac{a+c}{b+d} < \frac{c}{d}.$$

**Demonstração:** Das desigualdades

$$\frac{a+c}{b+d} - \frac{a}{b} = \frac{bc-ad}{b(b+d)} > 0 \quad \text{e} \quad \frac{c}{d} - \frac{a+c}{b+d} = \frac{bc-ad}{d(b+d)} > 0$$

conclui-se o enunciado. □

**Lema 2.2.** Sejam  $0 \leq a/b < c/d \leq 1$  duas frações que satisfazem a relação  $bc - ad = 1$  — esta é chamada de relação unimodal. Então:

- As frações  $a/b$  e  $c/d$  são consecutivas em  $F_n$  se e somente se

$$\max(b, d) \leq n \leq b + d - 1.$$

- Se  $h/k$  é a fração mediante das duas então valem novamente as relações unimodais

$$bh - ak = 1 \quad \text{e} \quad ck - dh = 1.$$

**Demonstração:** A relação  $bc - ad = 1$  implica que as frações  $a/b$  e  $c/d$  são irredutíveis. A desigualdade  $\max(b, d) \leq n$  é equivalente a  $b \leq n$  e  $d \leq n$  ou ainda que  $a/b$  e  $c/d$  pertencem a  $F_n$ .

Suponhamos que  $n \leq b + d - 1$  e, por hipótese de absurdo, que elas não são consecutivas em  $F_n$ . Então existe uma fração  $h/k$  entre as duas, isto é,  $a/b < h/k < c/d$ . Os fatos de que  $a/b < h/k$  e  $h/k < c/d$  implicam que  $ck - dh \geq 1$  e  $bh - ak \geq 1$ . A identidade

$$k = (bc - ad)k = b(ck - dh) + d(bh - ak)$$

implica que  $k = b(ck - dh) + d(bh - ak) \geq b + d$ , uma contradição, pois  $h/k$  não pode pertencer a  $F_n$  já que  $n \leq b + d - 1 < b + d$ . O que demonstra que de fato  $a/b$  e  $c/d$  são consecutivas em  $F_n$  com as hipóteses do enunciado.

Se as frações  $a/b$  e  $c/d$  são consecutivas em  $F_n$  então  $n \leq b + d - 1$ , pois a fração mediante  $(a+c)/(b+d)$  está entre as duas em  $F_{b+d}$ .

Agora, o segundo item. Seja  $h/k = (a+c)/(b+d)$  a fração mediante das frações  $a/b < c/d$  e suponha que valha a relação unimodal  $bc - ad = 1$ . Como  $a/b < h/k < c/d$ , conclui-se que  $ck - dh \geq 1$  e  $bh - ak \geq 1$ . Finalmente, a relação  $b + d = k = b(ck - dh) + d(bh - ak)$  implica que  $ck - dh = 1$  e  $bh - ak = 1$ . □

Agora o resultado central sobre as frações de Farey que será utilizado:

**Teorema 2.1.** Para todo  $n$ , vale a inclusão  $F_n \subset F_{n+1}$ . Sempre que  $a/b < c/d$  sejam frações consecutivas em  $F_n$ , vale a relação unimodal  $bc - ad = 1$ . Mais ainda, se  $a/b < c/d$  são frações consecutivas em  $F_n$  e separadas em  $F_{n+1}$ , então a fração mediante  $(a+c)/(b+d)$  está entre elas, e nenhuma outra fração separa  $a/b$  e  $c/d$ , em  $F_{n+1}$ .

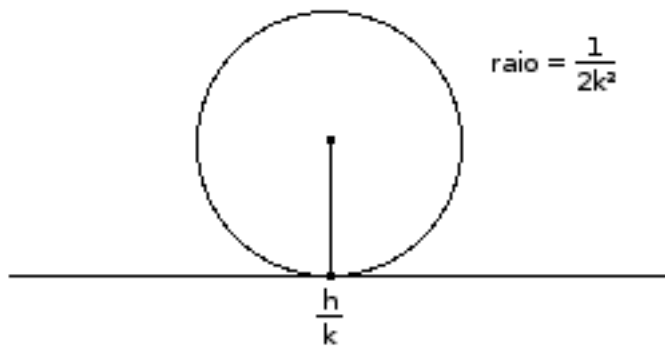
**Demonstração:** Será utilizada indução em  $n$ . Quando  $n = 1$ , as frações  $0/1$  e  $1/1$  são consecutivas e satisfazem a relação unimodal. Na passagem de  $F_1$  para  $F_2$ , insere-se a fração mediante das duas anteriores,  $1/2 = (0 + 1)/(1 + 1)$ , e nenhuma outra fração separa  $0/1$  de  $1/1$ , em  $F_2$ . As relações unimodais ainda valem em  $F_2$ , pois  $1 \times 1 - 0 \times 1 = 1$  e  $2 \times 1 - 1 \times 1 = 1$ . Agora o passo de indução. Suponhamos o teorema válido para  $n$  e vamos mostrar que ele é válido para  $n + 1$ .

Sejam  $a/b$  e  $c/d$  frações consecutivas em  $F_n$ , e que satisfazem a relação unimodal  $bc - ad = 1$ , pela hipótese de indução. Seja  $h/k$  a mediante das duas, ou seja,  $h = a + c$  e  $k = b + d$ . Pelo Lema 2.2, sabe-se que vale a relação unimodal  $ck - dh = 1$ , logo  $h$  e  $k$  são primos entre si. Se as frações  $a/b$  e  $c/d$  não são consecutivas em  $F_{n+1}$ , então  $(n + 1) > b + d - 1$ , pelo Lema 2.2. Como  $a/b$  e  $c/d$  não são consecutivas em  $F_{b+d}$  (pois  $h/k = (a + c)/(b + d)$  está entre elas), conclui-se que  $(n + 1) \leq (b + d)$ . Logo  $(n + 1) = (b + d) = k$ . Os dois pares de frações  $a/b < h/k$  e  $h/k < c/d$  são consecutivos em  $F_{n+1}$ , segundo o Lema 2.2, pois  $k = \max(b, k)$  e  $k = \max(d, k)$ . As relações unimodais  $ck - dh = 1$  e  $bh - ak = 1$  são satisfeitas, também pelo Lema. Isto mostra que na passagem de  $F_n$  para  $F_{n+1}$ , cada nova fração que surge tem de ser a mediante de duas frações que eram consecutivas em  $F_n$ , e que os novos pares satisfazem as relações unimodais. O que finaliza o passo de indução.  $\square$

## 2.2 Círculos de Ford

O matemático L. R. FORD foi quem primeiro estudou as propriedades dos chamados círculos de Ford, em 1938, por isso receberam seu nome.

**Definição 2.3.** Dado um número racional irredutível  $h/k$ , o círculo de Ford correspondente a esta fração é denotado por  $C(h, k)$ : é o círculo do plano complexo de raio  $1/(2k^2)$  cujo centro está no ponto  $(h/k) + i/(2k^2)$ .



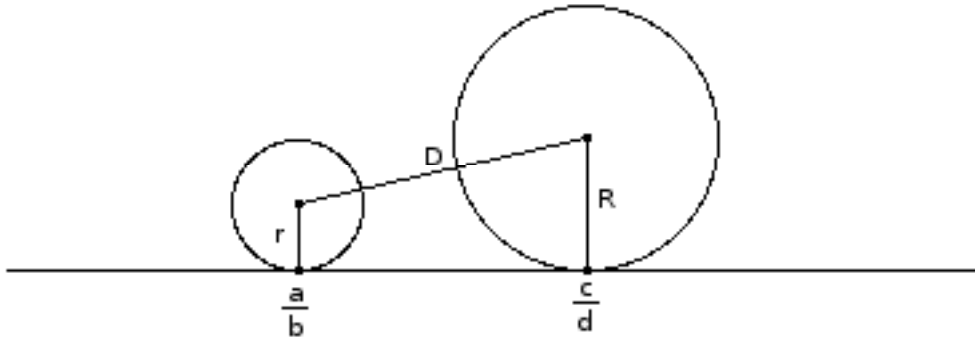
Um círculo de Ford qualquer  $C(h, k)$  localiza-se no fecho do semi-plano superior  $H$  e tangencia o eixo real no ponto  $h/k$ , pois a medida de seu raio é igual à medida de sua parte imaginária. Considere  $F_n$  o conjunto das frações de Farey de ordem  $n$ . Se dispusermos os círculos de Ford correspondentes a cada uma das frações de  $F_n$ , os círculos de Ford correspondentes às frações de Farey consecutivas corresponderão a círculos tangentes e exteriores um ao outro. Esse é o conteúdo do primeiro teorema desta seção.

**Teorema 2.2.** Dois círculos de Ford  $C(a, b)$  e  $C(c, d)$  ou se tangenciam ou não se intersectam. Eles se tangenciam se, e somente se,  $bc - ad = \pm 1$ . Em particular, frações de Farey de mesma ordem consecutivas correspondem a círculos de Ford tangentes.

**Demonstração:** Vamos supor, sem perda de generalidade, que  $a/b < c/d$ . Seja  $r$  o raio do círculo  $C(a, b)$  e  $R$  o raio do círculo  $C(c, d)$ . Da definição, sabemos as coordenadas dos centros dos dois círculos,

logo podemos determinar a distância  $D$  que os separa

$$D^2 = \left(\frac{a}{b} - \frac{c}{d}\right)^2 + \left(\frac{1}{2b^2} - \frac{1}{2d^2}\right)^2.$$



Por outro lado, sabemos a soma do raio dos dois círculos (elevarei ao quadrado para assemelhar-se à fórmula de  $D^2$ )

$$(r + R)^2 = \left(\frac{1}{2b^2} + \frac{1}{2d^2}\right)^2.$$

Calcularemos a diferença  $D^2 - (r + R)^2$ . Se ela for igual a zero, os círculos são tangentes; e se ela for positiva, eles não se intersectam. Essa diferença vale:

$$D^2 - (r + R)^2 = \left(\frac{a}{b} - \frac{c}{d}\right)^2 + \left(\frac{1}{2b^2} - \frac{1}{2d^2}\right)^2 - \left(\frac{1}{2b^2} + \frac{1}{2d^2}\right)^2 = \frac{(ad - bc)^2 - 1}{b^2 d^2} \geq 0.$$

Portanto ou os dois círculos se tangenciam ou eles não se tocam. Se as frações  $a/b$  e  $c/d$  são consecutivas em  $F_n$ , pelo Teorema 2.1, vale a relação unimodal, portanto os círculos de Ford  $C(a, b)$  e  $C(c, d)$  se tangenciam exteriormente.  $\square$

As coordenadas dos pontos de tangência podem ser calculadas.

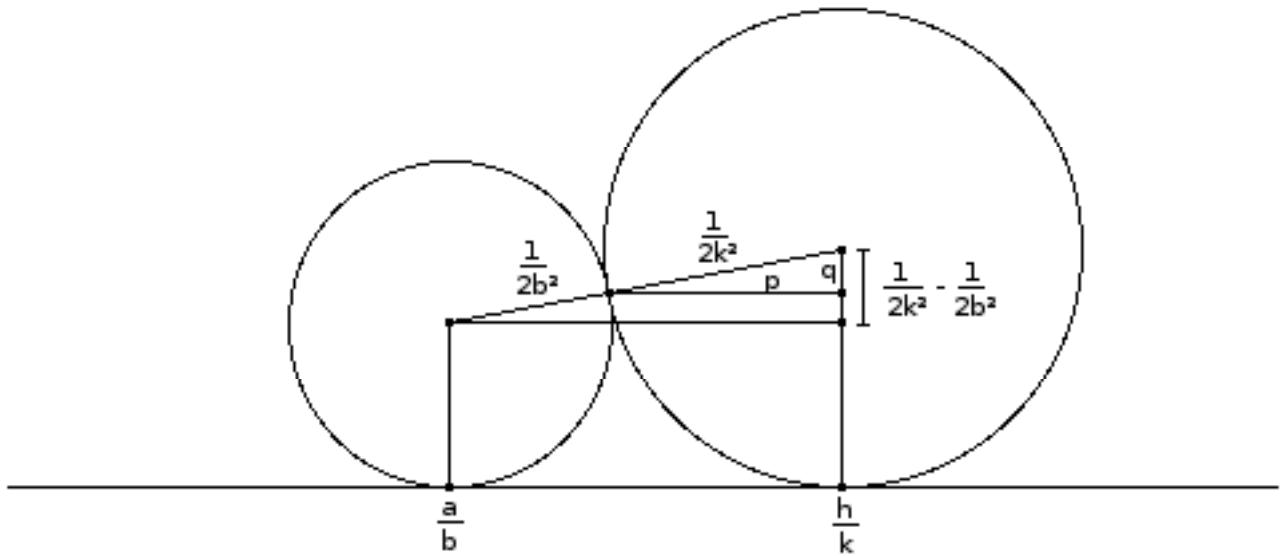
**Teorema 2.3.** *Sejam  $a/b < h/k < c/d$  três frações de Farey de ordem  $n$  consecutivas. Os pontos de tangência dos círculos  $C(a, b)$  e  $C(h, k)$  e dos círculos  $C(h, k)$  e  $C(c, d)$  são, respectivamente,*

$$\alpha_1 = \frac{h}{k} - \frac{b}{k(k^2 + b^2)} + \frac{1}{k^2 + b^2}i$$

e

$$\alpha_2 = \frac{h}{k} + \frac{d}{k(k^2 + d^2)} + \frac{1}{k^2 + d^2}i.$$

**Demonstração:** Uma figura auxiliará a demonstração.



Conforme a figura, tem-se

$$\alpha_1 = \left( \frac{h}{k} - p \right) + i \left( \frac{1}{2k^2} - q \right) \quad (2.1)$$

Através da semelhança dos triângulos retângulos, determina-se  $p$  e  $q$ . Primeiro

$$\frac{p}{\frac{h}{k} - \frac{a}{b}} = \frac{\frac{1}{2k^2}}{\frac{1}{2k^2} + \frac{1}{2b^2}} = \frac{b^2}{k^2 + b^2}$$

portanto

$$p = \frac{b}{k(k^2 + b^2)}.$$

Usando de novo a semelhança, chega-se à

$$\frac{q}{\frac{1}{2k^2}} = \frac{\frac{1}{2k^2} - \frac{1}{2b^2}}{\frac{1}{2k^2} + \frac{1}{2b^2}} = \frac{b^2 - k^2}{b^2 + k^2}$$

portanto

$$q = \frac{1}{2k^2} \frac{b^2 - k^2}{b^2 + k^2}.$$

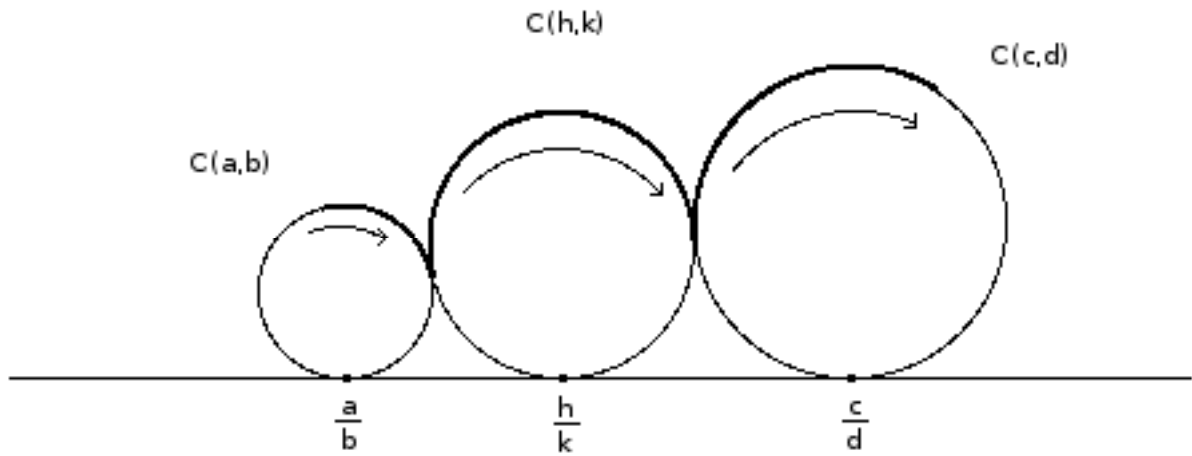
Substituindo os valores de  $p$  e  $q$  na expressão de  $\alpha_1$ , na fórmula 2.1, chega-se na fórmula desejada. A fórmula para  $\alpha_2$  é obtida de modo análogo.

□

## 2.3 Construção do caminho

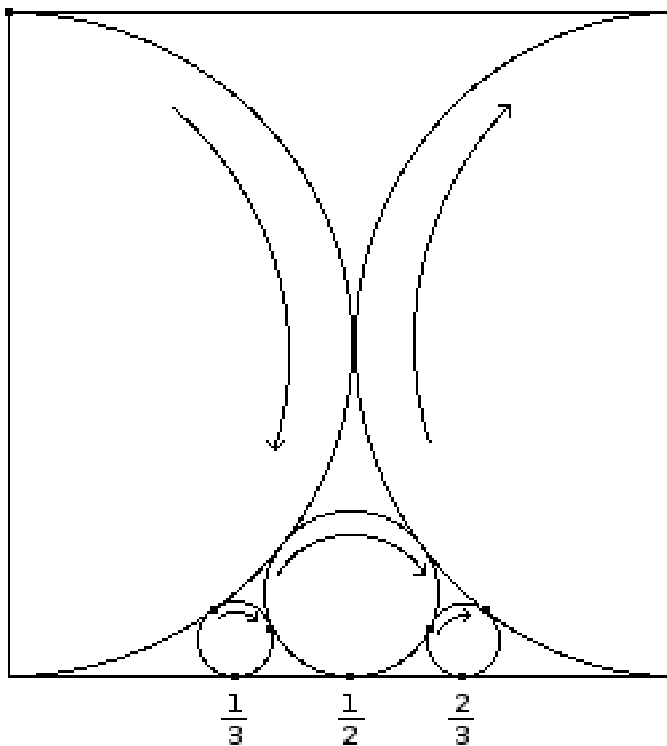
Para cada inteiro positivo  $N$ , será construído um caminho  $C_N$  que liga os pontos  $i$  e  $i + 1$ . Consideraremos os círculos de Ford correspondentes às frações de Farey de ordem  $N$ ,  $F_N$ . Frações consecutivas correspondem à círculos tangentes, segundo o Teorema 2.2. Se  $a/b < h/k < c/d$  são frações de Farey de ordem  $N$  consecutivas (até o final desta seção, estas frações desempenham o mesmo papel), são considerados os círculos respectivos de Ford  $C(a, b)$ ,  $C(h, k)$  e  $C(c, d)$ . Os pontos de tangência de  $C(a, b)$  com

$C(h, k)$  e de  $C(h, k)$  com  $C(c, d)$  dividem o círculo  $C(h, k)$  em dois arcos, um superior e um inferior. O arco superior  $\gamma(h, k)$  faz parte do caminho  $C_N$ , como mostra a figura:



O caminho  $C_N$  é a união de todos esses arcos superiores. Com a exceção de que para as frações  $0/1$  e  $1/1$  são consideradas a parte do arco que está dentro do quadrado de vértices  $0, 1, i$  e  $i + 1$ .

**Exemplo 2.2.** O caminho  $C_3$  é descrito na figura seguinte.



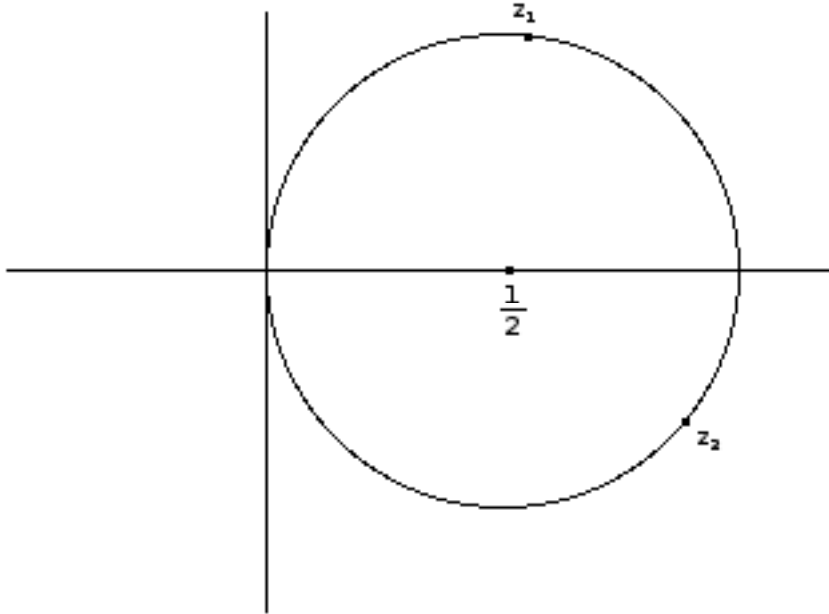
É conveniente estudarmos, neste ponto, o efeito de uma certa mudança de variáveis sobre  $C(h, k)$ .

**Teorema 2.4.** A mudança de variáveis

$$z = -ik^2 \left( \tau - \frac{h}{k} \right)$$

mapeia o círculo de Ford  $C(h, k)$  do plano  $\tau$  num círculo  $K$  do plano  $z$  de raio  $1/2$  em torno do ponto  $z = 1/2$ .





Os pontos de tangência das frações de Farey consecutivas  $\alpha_1$  e  $\alpha_2$ , descritos no Teorema 2.3, são aplicados respectivamente nos pontos

$$z_1 = \frac{k^2}{k^2 + b^2} + i \frac{kb}{k^2 + b^2}$$

e

$$z_2 = \frac{k^2}{k^2 + d^2} + i \frac{kd}{k^2 + d^2}.$$

O arco superior que une  $\alpha_1$  a  $\alpha_2$  é aplicado no arco de  $K$  que não toca o eixo imaginário de  $z$ .

**Demonstração:** A translação  $\tau - (h/k)$  leva o círculo  $C(h, k)$  para a esquerda  $h/k$  unidades, portanto move seu centro para o ponto do eixo imaginário  $i/(2k^2)$ . A multiplicação por  $-ik^2$  expande o raio para  $1/2$  e rotaciona o círculo de  $\pi/2$  no sentido horário. As expressões para  $z_1$  e  $z_2$  seguem diretamente das expressões  $\alpha_1$  e  $\alpha_2$  do Teorema 2.3, aplicando a expressão da mudança de variáveis. Finalmente, o arco superior de  $C(h, k)$  é aplicado no arco de  $K$  que não toca o eixo imaginário, pois o ponto  $h/k$  (pertencente ao arco inferior) é levado na origem (pertencente ao arco que toca o eixo imaginário).  $\square$

As seguinte estimativas de módulo serão utilizadas.

**Teorema 2.5.** *Tem-se*

$$|z_1| = \frac{k}{\sqrt{k^2 + b^2}} \quad \text{e} \quad |z_2| = \frac{k}{\sqrt{k^2 + d^2}}.$$

Se  $z$  está na corda (segmento de reta) que une  $z_1$  a  $z_2$ , então

$$|z| < \frac{\sqrt{2}k}{N}.$$

O comprimento desta corda é  $\leq \frac{2\sqrt{2}k}{N}$ .

**Demonstração:** Basta calcular

$$|z_1|^2 = \frac{k^4 + k^2b^2}{(k^2 + b^2)^2} = \frac{k^2}{k^2 + b^2}.$$

E de modo análogo se obtém a expressão de  $|z_2|$ . Agora a segunda parte do teorema. Considere  $z$  pertencente à corda que une  $z_1$  a  $z_2$ . Queremos mostrar que  $|z| < \frac{\sqrt{2}k}{N}$ . Temos  $|z| \leq \max\{|z_1|, |z_2|\}$ . Então basta mostrar essa desigualdade para  $z = z_1$  e  $z = z_2$ , faremos o primeiro caso, o segundo sendo análogo. Da expressão obtida para  $|z_1|$  e da desigualdade que relaciona a média aritmética com a média quadrática

$$\frac{k+b}{2} \leq \sqrt{\frac{k^2+b^2}{2}},$$

obtem-se

$$|z_1| = \frac{k}{\sqrt{k^2+b^2}} \leq \frac{k}{\frac{k+b}{\sqrt{2}}} \leq \frac{k}{\frac{N+1}{\sqrt{2}}} < \frac{\sqrt{2}k}{N}.$$

Repare que  $N+1 \geq k+b$ , pois as frações  $a/b$  e  $h/k$  são consecutivas em  $F_N$ . Da análise do triângulo  $\triangle 0z_1z_2$  conclui-se que o comprimento do segmento que une  $z_1$  a  $z_2$  é  $\leq |z_1| + |z_2|$ , e a desigualdade  $|z| < \frac{\sqrt{2}k}{N}$  pode ser aplicada para  $z = z_1$  e  $z = z_2$ , o que finaliza a demonstração.  $\square$

---

## CAPÍTULO 3

# A EQUAÇÃO FUNCIONAL DE DEDEKIND

---

Esta equação (na verdade uma formulação equivalente) será muito importante para o cálculo da integral no método do círculo. Para sua demonstração — o objetivo deste capítulo —, precisamos estudar antes alguns assuntos.

Eis um roteiro deste capítulo. Primeiro, estudaremos o grupo modular  $\Gamma$ , que é um grupo de transformações que agem sobre o semi-plano superior  $H = \{\tau \in \mathbb{C} : \Im(\tau) > 0\}$ , que são aplicações analíticas inversíveis de  $H$  sobre si mesmo. Em seguida, estudaremos as somas de Dedekind  $s(h, k)$  e algumas de suas propriedades — essas somas tem a ver com a fração  $h/k$  do caminho  $\gamma(h, k)$ . Depois, introduziremos a função eta  $\eta(\tau)$  de DEDEKIND, que é uma função analítica definida no semi-plano superior  $H$ . Finalmente, veremos o que ocorrerá quando compusermos a função  $\eta$  com as transformações do grupo modular, o que dará origem a uma equação funcional — é nesta equação em que aparecem as somas de Dedekind.

### 3.1 Grupo modular $\Gamma$

Estamos interessados em transformações de Möbius (unimodulares)

$$f(z) = \frac{az + b}{cz + d},$$

onde  $a, b, c$  e  $d$  são inteiros que satisfazem a relação  $ad - bc = 1$ . Esta transformação é analítica (exceto por um pólo em  $z = -d/c \in \mathbb{R}$ ) em todo plano complexo  $\mathbb{C}$ , mas só estaremos interessados no semi-plano superior  $H \subset \mathbb{C}$ , onde ela é analítica em todo ponto. Transformações de Möbius unimodulares são inversíveis. A inversa é também uma transformação de Möbius unimodular

$$f^{-1}(z) = \frac{dz - b}{-cz + a}.$$

**Lema 3.1.** *Toda transformação unimodular  $f(\tau) = (a\tau + b)/(c\tau + d)$  deixa invariante o semi-plano superior  $H$ .*

**Demonstração:** Temos

$$\Im(f(\tau)) = \Im\left(\frac{(a\tau + b)(c\bar{\tau} + d)}{|c\tau + d|^2}\right) = \frac{\Im(ac\tau\bar{\tau} + ad\tau + cd\bar{\tau} + bd)}{|c\tau + d|^2} = \frac{\Im(\tau)}{|c\tau + d|^2},$$

portanto se  $\tau \in H$  então  $f(\tau) \in H$ , lembrando que  $H$  é caracterizado pelos complexos cuja parte imaginária é positiva.  $\square$

O conjunto de automorfismos de  $H$  em que estamos interessados em estudar é  $\Gamma$ , o conjunto de todas as transformações de Möbius unimodulares restritas ao domínio  $H$ . Este conjunto  $\Gamma$  munido da

operação de composição resulta um grupo. Vejamos uma outra interpretação de  $f(\tau)$ , que dá uma outra caracterização útil de  $\Gamma$ .

A transformação  $f(\tau) = (a\tau + b)/(c\tau + d)$  está ligada à matriz  $A = \begin{pmatrix} a & b \\ c & d \end{pmatrix}$ . Sem apelar para um excesso de notação: o que ocorre é que a composição de transformações de  $\Gamma$  corresponde ao produto das matrizes correspondentes. É preciso fazer um parênteses. A transformação  $f(\tau)$  está ligada à duas matrizes,  $A$  e  $-A$ . De fato, pois  $f(\tau) = (-a\tau - b)/(-c\tau - d)$ . Agora podemos enunciar a outra caracterização. O conjunto de matrizes  $2 \times 2$  de coeficientes inteiros e determinante 1 quociente pela relação de equivalência que identifica matrizes simétricas  $A \sim -A$ , munido da operação de produto, é um grupo (denota por  $\text{PSL}_2(\mathbb{Z})$ ). A correspondência descrita há pouco entre essas matrizes (na verdade, é a classe da matriz, mas omitiremos esse preciosismo) e  $\Gamma$  é um isomorfismo de grupos, considerando  $\Gamma$  com a operação de composição. A definição explícita é:

**Definição 3.1.** O grupo modular  $\Gamma$  é composto de todas as transformações  $f(\tau) = (a\tau + b)/(c\tau + d) = \begin{pmatrix} a & b \\ c & d \end{pmatrix}(z)$  — onde  $a, b, c$  e  $d$  são inteiros que satisfazem a relação  $ad - bc = 1$  — restritas ao domínio  $\mathbb{H}$ . A operação considerada é a composição.

**Teorema 3.1.** O grupo modular  $\Gamma$  é gerado pelas transformações  $S(\tau) = -1/\tau$  e  $T(\tau) = \tau + 1$ . Vale a relação  $S^2 = I$ .

**Demonstração:** Será mostrado, analogamente ao enunciado, que qualquer matriz  $A = \begin{pmatrix} a & b \\ c & d \end{pmatrix} \in \Gamma$  é igual a um produto (não necessariamente único) de matrizes do tipo

$$T = \begin{pmatrix} 1 & 1 \\ 0 & 1 \end{pmatrix} \text{ e } S = \begin{pmatrix} 0 & -1 \\ 1 & 0 \end{pmatrix}.$$

A demonstração será por indução em  $c$ , que podemos supor, sem perder generalidade, que satisfaz  $c \geq 0$ .

Se  $c = 0$  então  $ad = 1$ , portanto  $a = d = \pm 1$  e

$$A = \begin{pmatrix} \pm 1 & b \\ 0 & \pm 1 \end{pmatrix} = \begin{pmatrix} 1 & \pm b \\ 0 & 1 \end{pmatrix} = T^{\pm b}.$$

Se  $c = 1$  então  $ad - b = 1$ , portanto  $b = ad - 1$  e

$$A = \begin{pmatrix} a & ad - 1 \\ 1 & d \end{pmatrix} = \begin{pmatrix} 1 & a \\ 0 & 1 \end{pmatrix} \begin{pmatrix} 0 & -1 \\ 1 & 0 \end{pmatrix} \begin{pmatrix} 1 & d \\ 0 & 1 \end{pmatrix} = T^a S T^d.$$

Agora o passo de indução. Assumimos que a afirmação está provada para todos  $c \leq c_0$ , onde  $c_0 \geq 1$ , e vamos provar que ela vale para  $c = c_0 + 1$ . Como  $ad - bc = 1$ , tem-se  $(c, d) = 1$ . Pelo algoritmo da divisão euclidiana, existem  $q$  e  $r$  satisfazendo  $0 < r < c$  e  $d = cq + r$ . Daí

$$AT^{-q} = \begin{pmatrix} a & b \\ c & d \end{pmatrix} \begin{pmatrix} 1 & -q \\ 0 & 1 \end{pmatrix} = \begin{pmatrix} a & -aq + b \\ c & r \end{pmatrix}$$

e

$$AT^{-q}S = \begin{pmatrix} a & -aq + b \\ c & r \end{pmatrix} \begin{pmatrix} 0 & -1 \\ 1 & 0 \end{pmatrix} = \begin{pmatrix} -aq + b & -a \\ r & -c \end{pmatrix},$$

que, pela hipótese de indução, pode ser escrita como produto das matrizes  $S$  e  $T$ , já que  $r \leq c - 1 = c_0$ , o que finaliza a demonstração.  $\square$

## 3.2 Somas de Dedekind

As somas de Dedekind  $s(h, k)$  surgirão na equação funcional da função eta  $\eta(\tau)$ , que será estudada na próxima seção. Até o final desta seção, será assumido que  $h$  e  $k$  são inteiros,  $k > 0$  e  $(h, k) = 1$ . Primeiro, a definição das somas de Dedekind.

**Definição 3.2.** Se  $h$  e  $k$  são inteiros,  $k > 0$  e  $(h, k) = 1$ , a soma de Dedekind  $s(h, k)$  é definida através da expressão

$$s(h, k) = \sum_{r=1}^{k-1} \frac{r}{k} \left( \frac{hr}{k} - \left\lfloor \frac{hr}{k} \right\rfloor - \frac{1}{2} \right).$$

Como de costume, o símbolo  $[x]$  representa a parte inteira de  $x$ , ou seja, o único inteiro  $k$  tal que  $k \leq [x] < k + 1$ . Outra notação que será utilizada é a seguinte,  $((x))$  definida da seguinte maneira:

$$((x)) = \begin{cases} x - [x] - \frac{1}{2} & \text{se } x \text{ não é inteiro;} \\ 0 & \text{se } x \text{ é inteiro.} \end{cases}$$

A função  $((x))$  é periódica, com período 1, e ímpar, isto é,  $((-x)) = -((x))$ . O seguinte somatório anula-se

$$\sum_{r=0}^{k-1} \left( \left( \frac{r}{k} \right) \right) = 0,$$

pelo argumento que segue. Neste somatório,  $r$  está percorrendo todas as classes módulo  $k$ . Podemos substituir os  $r$ 's, devido à periodicidade de  $((x))$ , por outros representantes da mesma classe módulo  $k$ . Para um certo  $r$ , se a classe de  $-r$  módulo  $k$  for diferente, então  $\left( \left( \frac{r}{k} \right) \right) + \left( \left( \frac{-r}{k} \right) \right) = 0$ , pois a função  $((x))$  é ímpar. Pode, então, restar no somatório um único  $r$  que está na mesma classe de  $-r$  módulo  $k$ . Mas neste caso  $((r)) = 0$  pois  $-((r)) = ((-r)) = ((r))$ . O que conclui o argumento.

Utilizando-se desse argumento das classes módulo  $k$ , se obtém uma expressão mais geral

$$\sum_{r=0}^{k-1} \left( \left( \frac{hr}{k} \right) \right) = 0,$$

sempre que  $(h, k) = 1$ , pois  $hr$  percorre todas as classes módulo  $k$ .

Feitas essas observações, é possível encontrar uma outra expressão para a soma de Dedekind, que será útil.

$$\sum_{r=1}^{k-1} \frac{r}{k} \left( \left( \frac{hr}{k} \right) \right) = \sum_{r=0}^{k-1} \left( \frac{r}{k} - \frac{1}{2} \right) \left( \left( \frac{hr}{k} \right) \right) = \sum_{r=0}^{k-1} \left( \left( \frac{r}{k} \right) \right) \left( \left( \frac{hr}{k} \right) \right),$$

ou seja,

$$s(h, k) = \sum_{r=0}^{k-1} \left( \left( \frac{r}{k} \right) \right) \left( \left( \frac{hr}{k} \right) \right). \quad (3.1)$$

**Teorema 3.2.** Se  $h \equiv \pm h' \pmod{k}$  então  $s(h, k) = \pm s(h', k)$ .

**Demonstração:** É uma consequência da fórmula 3.1. □

Não existe uma fórmula simples para  $s(h, k)$ . Contudo, existe uma lei de reciprocidade que relaciona  $s(h, k)$  e  $s(k, h)$  de uma maneira simples. Esta lei será necessária adiante. A demonstração não é a original de Dedekind, é devida a Rademacher e Whiteman, e consiste em calcular a expressão  $\sum_{r=1}^k \left( \left( \frac{hr}{k} \right) \right)^2$  de duas maneiras diferentes.

**Teorema 3.3** (Lei da reciprocidade para somas de Dedekind). Se  $h > 0$ ,  $k > 0$  e  $(h, k) = 1$  então

$$12hks(h, k) + 12hks(k, h) = h^2 + k^2 - 3hk + 1.$$

**Demonstração:** Tem-se

$$\sum_{r=1}^k \left( \left( \frac{hr}{k} \right) \right)^2 = \sum_{r=1}^k \left( \left( \frac{r}{k} \right) \right)^2 = \sum_{r=1}^{k-1} \left( \frac{r}{k} - \frac{1}{2} \right)^2,$$

que, ao ser expandida, resulta

$$\frac{1}{k^2} \sum_{r=1}^{k-1} r^2 - \frac{1}{k} \sum_{r=1}^{k-1} r + \frac{1}{4} \sum_{r=1}^{k-1} 1,$$

por outro lado

$$\begin{aligned}
\sum_{r=1}^k \left( \left( \frac{hr}{k} \right) \right)^2 &= \sum_{r=1}^{k-1} \left( \frac{hr}{k} - \left[ \frac{hr}{k} \right] - \frac{1}{2} \right)^2 \\
&= \sum_{r=1}^{k-1} \left( \frac{h^2 r^2}{k^2} + \left[ \frac{hr}{k} \right]^2 + \frac{1}{4} - \frac{hr}{k} + \left[ \frac{hr}{k} \right] - \frac{2hr}{k} \left[ \frac{hr}{k} \right] \right) \\
&= 2h \sum_{r=1}^{k-1} \frac{r}{k} \left( \frac{hr}{k} - \left[ \frac{hr}{k} \right] - \frac{1}{2} \right) + \\
&\quad \sum_{r=1}^{k-1} \left[ \frac{hr}{k} \right] \left( \left[ \frac{hr}{k} \right] + 1 \right) - \frac{h^2}{k^2} \sum_{r=1}^{k-1} r^2 - \frac{1}{4} \sum_{r=1}^{k-1} 1.
\end{aligned}$$

As duas expressões juntas, já feito ajustes, resultam

$$2hs(h, k) + \sum_{r=1}^{k-1} \left[ \frac{hr}{k} \right] \left( \left[ \frac{hr}{k} \right] + 1 \right) = \frac{h^2 + 1}{k} \sum_{r=1}^{k-1} r^2 - \frac{1}{k} \sum_{r=1}^{k-1} r. \quad (3.2)$$

No somatório, do lado esquerdo da igualdade 3.2, separamos os termos para os quais  $\left[ \frac{hr}{k} \right]$  tem um valor igual. Como  $0 < r < k$ , tem-se  $0 < \frac{hr}{k} < h$  e se pode escrever

$$\left[ \frac{hr}{k} \right] = v - 1,$$

onde  $v = 1, 2, \dots, h$ . Para cada  $v$  destes, seja  $N(v)$  a quantidade de valores de  $r$  para os quais se tem  $\left[ \frac{hr}{k} \right] = v - 1$ . Esta última expressão é equivalente à  $v - 1 < \frac{hr}{k} < v$  ou ainda

$$\frac{k(v-1)}{h} < r < \frac{kv}{h},$$

a igualdade  $v - 1 = \frac{hr}{k}$  é excluída pois ela equivale a  $(v-1)k = hr$ , entretanto  $0 < r < k$  e  $(h, k) = 1$ , ou seja,  $hr$  não pode ser múltiplo de  $k$ , uma contradição — para o caso  $k = 1$ , este argumento não funciona, só que este é um caso onde o somatório é vazio. Portanto  $\left[ \frac{hr}{k} \right] = v - 1$  para  $r$  de  $\lfloor k(v-1)/h \rfloor + 1$  até  $\lfloor kv/h \rfloor$ , logo

$$N(v) = \lfloor kv/h \rfloor - \lfloor k(v-1)/h \rfloor,$$

isto se  $1 \leq v \leq h-1$ . Para  $v = h$ , tem-se de excluir o caso  $r = k$ , portanto

$$N(h) = k - 1 - \lfloor k(h-1)/h \rfloor.$$

Agora, temos

$$\begin{aligned}
\sum_{r=1}^{k-1} \left[ \frac{hr}{k} \right] \left( \left[ \frac{hr}{k} \right] + 1 \right) &= \sum_{v=1}^h (v-1)vN(v) \\
&= \left\{ \sum_{v=1}^{h-1} (v-1)v \left( \left\lfloor \frac{kv}{h} \right\rfloor - \left\lfloor \frac{k(v-1)}{h} \right\rfloor \right) \right\} + h(h-1)N(h) \\
&= \left\{ \sum_{v=1}^{h-1} \left\lfloor \frac{kv}{h} \right\rfloor \{ (v-1)v - v(v+1) \} \right\} + (k-1)h(h-1) \\
&= -2 \left\{ \sum_{v=1}^{h-1} v \left\lfloor \frac{kv}{h} \right\rfloor \right\} + (k-1)h(h-1).
\end{aligned}$$

Por outro lado, da definição,

$$2hs(k, h) = 2 \sum_{v=1}^{h-1} v \left( \frac{kv}{h} - \left\lfloor \frac{kv}{h} \right\rfloor - \frac{1}{2} \right) = -2 \sum_{v=1}^{h-1} v \left\lfloor \frac{kv}{h} \right\rfloor + \frac{2k}{h} \sum_{v=1}^{h-1} v^2 - \sum_{v=1}^{h-1} v.$$

Logo

$$\sum_{r=1}^{k-1} \left\lfloor \frac{hr}{k} \right\rfloor \left( \left\lfloor \frac{hr}{k} \right\rfloor + 1 \right) = 2hs(k, h) - \frac{2k}{h} \sum_{v=1}^{h-1} v^2 + \sum_{v=1}^{h-1} v + h(h-1)(k-1)$$

Substituindo esta expressão, na equação 3.2, chegamos à lei da reciprocidade.  $\square$

### 3.3 A equação funcional

A função eta de Dedekind  $\eta(\tau)$  foi estudada pela primeira vez em 1877, por Dedekind. Ela está ligada à função geradora das partições  $F(x)$  pela equação  $\eta(\tau)F(e^{2\pi i\tau}) = e^{\pi i\tau/12}$ . Vejamos uma definição.

**Definição 3.3.** A função eta de Dedekind  $\eta(\tau)$  é definida para cada  $\tau \in H$  (lembrando que  $H = \{\tau \in \mathbb{C} : \Im(\tau) > 0\}$  é o semi-plano superior), pela expressão

$$\eta(\tau) = e^{\pi i\tau/12} \prod_{n=1}^{\infty} (1 - e^{2\pi in\tau}).$$

Conforme a explicação dada antes da demonstração do Teorema 1.1, sabemos que o produtório  $\prod_{n=1}^{\infty} (1 - x^n)$  converge para uma função analítica, sem zeros, definida no disco unitário  $|x| < 1$ .

Se  $\tau \in H$  então  $x = e^{2\pi i\tau}$  satisfaz  $|x| < 1$ . A expressão que define a função  $\eta$  envolve o produtório  $\prod_{n=1}^{\infty} (1 - x^n)$ , com este  $x$ . Concluimos daí que a função  $\eta$  é composição de duas funções analíticas, logo é analítica em todo o domínio  $H$ .

Agora estudaremos o que acontece quando fazemos uma composição da função  $\eta$  com uma transformação do grupo modular  $\Gamma$ . Para  $\begin{pmatrix} a & b \\ c & d \end{pmatrix} \in \Gamma$ , encontraremos uma expressão que relaciona  $\eta\{(a\tau + b)/(c\tau + d)\}$  com  $\eta(\tau)$ . Essa expressão envolve as somas de Dedekind e é chamada de *equação funcional de Dedekind*.

A equação funcional é a seguinte: para  $c > 0$

$$\eta\left(\frac{a\tau + b}{c\tau + d}\right) = \epsilon(A) \{-i(c\tau + d)\}^{1/2} \eta(\tau),$$

onde

$$\epsilon(A) = \exp\left\{\pi i \left(\frac{a+d}{12c} - s(d, c)\right)\right\}$$

e  $s(d, c)$  é uma soma de Dedekind.

A demonstração que apresentaremos tem duas partes. A primeira demonstra diretamente que a equação funcional é válida para os casos  $A = T$  e  $A = S$ , recordando que  $T(\tau) = \tau + 1$  e  $S(\tau) = -1/\tau$  — o primeiro caso sendo fácil e o segundo bem mais difícil. A segunda parte da demonstração usa o fato de que o grupo modular  $\Gamma$  é gerado por  $S$  e  $T$ . Finalmente, se mostrará que se a equação funcional vale para  $A$  então ela também vale para  $AS$  e  $AT$ . Isto implicará que ela vale para quaisquer produtos de  $S$  e  $T$ , que, como sabemos, é todo o grupo modular  $\Gamma$ .

#### 3.3.1 Casos $T$ e $S$

Para o gerador  $T(\tau) = \tau + 1$ , tem-se

$$\eta(\tau + 1) = e^{\pi i(\tau+1)/12} \prod_{n=1}^{\infty} (1 - e^{2\pi in(\tau+1)}),$$

mas  $e^{2\pi in(\tau+1)} = e^{2\pi in\tau}$ , logo

$$\eta(\tau + 1) = e^{\pi i/12} \eta(\tau).$$

Mais geralmente

$$\eta(T^b(\tau)) = e^{\pi ib/12} \eta(\tau).$$

Para o outro gerador  $S$ , a demonstração é bem mais difícil. A prova apresentada aqui é devida a C. L. SIEGEL, ver na bibliografia [1].

**Teorema 3.4.** Para cada  $\tau \in H$ , tem-se

$$\eta(\tau + b) = e^{\pi ib/12} \eta(\tau) \quad \text{e} \quad \eta\left(\frac{-1}{\tau}\right) = (-i\tau)^{1/2} \eta(\tau).$$

O ramo do logaritmo, usado para extrair a raiz quadrada, é o tradicional:  $\log(z) > 0$  para  $z > 0$ .

Na demonstração que segue, será utilizado o seguinte resultado (conferir referência [6, página 405])

**Lema 3.2** (Teorema da Convergência Limitada de Arzelà). Sejam  $\{f_n\}_{n \in \mathbb{N}}$  funções reais Riemann-integráveis definidas no intervalo fechado  $[a, b]$ . Suponha que  $f_n$  converge pontualmente a uma função  $f$  também Riemann-integrável e que  $\{f_n\}_{n \in \mathbb{N}}$  é uniformemente limitada em  $[a, b]$ . Nestas condições

$$\lim_{n \rightarrow \infty} \int_a^b f_n(x) dx = \int_a^b \lim_{n \rightarrow \infty} f_n(x) dx = \int_a^b f(x) dx.$$

**Demonstração:** A primeira parte está pronta. Queremos demonstrar a expressão  $\eta(-1/\tau) = (-i\tau)^{1/2} \eta(\tau)$  para todo  $\tau \in H$ . O lado direito e o lado esquerdo desta equação são funções analíticas na variável  $\tau$ , definidas no semi-plano superior. A estratégia da prova será demonstrar que a equação é válida para  $\tau = iy$  com  $y > 0$ . Por continuação analítica, as duas funções devem ser iguais em todo  $H$  e portanto a equação é válida em geral.

Para  $\tau = iy$  com  $y > 0$ , a equação se torna  $\eta(i/y) = y^{1/2} \eta(iy)$ , que é equivalente a

$$\log \eta(i/y) - \log \eta(iy) = \frac{1}{2} \log y.$$

De fato, o logaritmo pode ser tomado, pois da expressão que define  $\eta(\tau)$ , vemos que ela é um número real e positivo se  $\tau$  é da forma  $iy$  com  $y > 0$ . Então

$$\begin{aligned} \log \eta(iy) &= -\frac{\pi y}{12} + \log \prod_{n=1}^{\infty} (1 - e^{-2\pi n y}) = -\frac{\pi y}{12} + \sum_{n=1}^{\infty} \log(1 - e^{-2\pi n y}) \\ &= -\frac{\pi y}{12} - \sum_{n=1}^{\infty} \sum_{m=1}^{\infty} \frac{e^{-2\pi m n y}}{m} \\ &= -\frac{\pi y}{12} - \sum_{m=1}^{\infty} \frac{1}{m} \frac{e^{-2\pi m y}}{1 - e^{-2\pi m y}} = -\frac{\pi y}{12} + \sum_{m=1}^{\infty} \frac{1}{m} \frac{1}{1 - e^{2\pi m y}} \end{aligned}$$

Ou seja, queremos demonstrar que

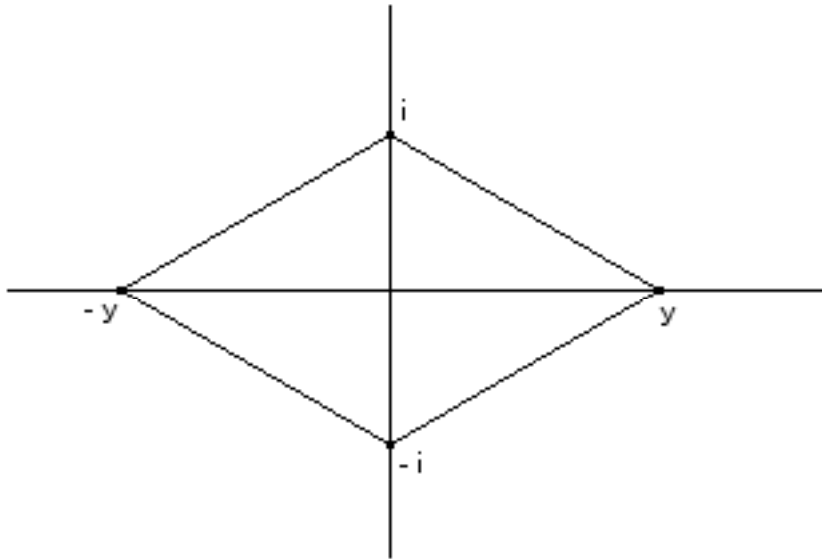
$$\sum_{m=1}^{\infty} \frac{1}{m} \frac{1}{1 - e^{2\pi m y}} - \sum_{m=1}^{\infty} \frac{1}{m} \frac{1}{1 - e^{2\pi m/y}} - \frac{\pi}{12} \left( y - \frac{1}{y} \right) = -\frac{1}{2} \log y.$$

Iremos provar esta última expressão através da teoria de resíduos de variável complexa. Seja  $y > 0$  fixo, a partir daqui. Para cada  $n$  inteiro positivo, colocamos  $m = n + \frac{1}{2}$ , e definimos a função auxiliar

$$F_n(z) = -\frac{1}{8z} \cot \pi i m z \cot \frac{\pi m z}{y}.$$

Seja  $G$  o paralelogramo de vértices  $y$ ,  $i$ ,  $-y$  e  $-i$ , conforme a figura:





Vejamos quais são as singularidades de  $F_n$  no interior da região  $G$ . Como  $\cot = \cos / \sin$ , estamos interessados nos zeros das funções  $\cos$  e  $\sin$ . Os únicos zeros da função  $\sin$  são da forma  $\pi z$  para  $z$  inteiro; e de  $\cos z$ , da forma  $\pi z + \frac{\pi}{2}$  para  $z$  inteiro.

Para cada  $k$  inteiro,  $z = ik/m$  é um pólo simples, pois é um pólo de  $\cot \pi imz$  mas não é um zero de  $\cot \frac{\pi mz}{y}$ . Os pólos interiores a  $G$  são aqueles com  $k = \pm 1, \pm 2, \dots, \pm n$ . De modo análogo, se conclui que  $z = ky/m$  é um pólo simples de  $F_n(z)$ , para  $k = \pm 1, \pm 2, \dots, \pm n$ . O número  $z = 0$  é um pólo simples tanto de  $\frac{1}{8z}$  como de  $\cot \pi imz$  como de  $\cot \pi mz/y$ , portanto é um pólo triplo de  $F_n(z)$ . Essas são todas as singularidades em  $G$ .

Pela teoria dos resíduos, podemos determinar o resíduo de  $F_n$  no ponto  $z = 0$  definindo  $g(z) = z^3[F_n(z)]$  e calculando  $\frac{1}{2!}g''(0)$ , que resulta  $i(y - y^{-1})/24$ , fazendo as contas. De modo similar, se conclui que para cada  $k$ , como do parágrafo anterior, o resíduo de  $z = ik/m$  é  $\frac{1}{8\pi k} \cot \frac{\pi ik}{y}$ , que é uma função par em  $k$ , portanto

$$\sum_{(0 \neq k)=n} \text{Res}_{ik/m}(F_n(z)) = 2 \sum_{k=1}^n \frac{1}{8\pi k} \cot \frac{\pi ik}{y}.$$

Mas

$$\cot i\theta = i \frac{e^{-\theta} + e^{\theta}}{e^{-\theta} - e^{\theta}} = \frac{1}{i} \left( 1 - \frac{2}{1 - e^{2\theta}} \right).$$

Se escolhermos  $\theta = \pi k/y$ , obtemos

$$\sum_{(0 \neq k)=-n}^n \text{Res}_{ik/m}(F_n(z)) = \frac{1}{4\pi i} \sum_{k=1}^n \frac{1}{k} - \frac{1}{2\pi i} \sum_{k=1}^n \frac{1}{k} \frac{1}{1 - e^{2\pi k/y}}.$$

E de modo similar para as singularidades  $z = ky/m$ , chegamos a

$$\sum_{(0 \neq k)=-n}^n \text{Res}_{ky/m}(F_n(z)) = \frac{-1}{4\pi i} \sum_{k=1}^n \frac{1}{k} + \frac{1}{2\pi i} \sum_{k=1}^n \frac{1}{k} \frac{1}{1 - e^{2\pi ky}}.$$

Multiplicamos os resíduos por  $2\pi i$  e os somamos, em seguida fazemos  $n \rightarrow \infty$ . Pelo teorema dos resíduos de Cauchy, teremos

$$\lim_{n \rightarrow \infty} \int_{\delta G} F_n(z) dz = \sum_{m=1}^{\infty} \frac{1}{m} \frac{1}{1 - e^{2\pi my}} - \sum_{m=1}^{\infty} \frac{1}{m} \frac{1}{1 - e^{2\pi m/y}} - \frac{\pi}{12} \left( y - \frac{1}{y} \right).$$

Por outro lado, se mostrarmos que  $\lim_{n \rightarrow \infty} \int_{\delta G} F_n(z) dz = -\frac{1}{2} \log y$ , a demonstração estará completa.

Definimos como sendo  $C = \delta G$  a curva da fronteira do paralelogramo  $G$ . Vamos estudar o que ocorre com a função  $zF_n(z)$  nos lados do paralelogramo quando  $n$  tende ao infinito. Os pontos do lado pertencente ao primeiro quadrante — segmento  $[i, y]$  — são da forma  $ti + (1-t)y$  onde  $0 \leq t \leq 1$ . Para estes pontos, o limite é  $\frac{1}{8}$  — isto pode se obtido através da fórmula  $\cot(z) = i(1 + e^{2iz})/(-1 + e^{2iz})$ . O mesmo para o segmento  $[-y, -i]$  já que a função  $\cot$  é uma função ímpar. Nos outros dois segmentos, o limite é  $-\frac{1}{8}$ . Mais ainda, a função  $F_n(z)$  é uniformemente limitada em  $G$  — também pela expressão de  $\cot$ , deduz-se este resultado. Pelo teorema da convergência limitada de Arzelà,

$$\begin{aligned} \lim_{n \rightarrow \infty} \int_C F_n(z) dz &= \int_C \lim_{n \rightarrow \infty} zF_n(z) \frac{dz}{z} \\ &= \frac{1}{8} \left\{ -\int_{-i}^y + \int_y^i - \int_i^{-y} + \int_{-y}^{-i} \right\} \frac{dz}{z} \\ &= \frac{1}{4} \left\{ -\int_{-i}^y + \int_y^i \right\} \frac{dz}{z} \\ &= \frac{1}{4} \left\{ -\left( \log y + \frac{\pi i}{2} \right) + \left( -\log y + \frac{\pi i}{2} \right) \right\} = -\frac{1}{2} \log y \end{aligned}$$

E a prova está terminada. □

### 3.3.2 Caso geral

**Teorema 3.5** (Equação funcional de Dedekind). *Se  $A = \begin{pmatrix} a & b \\ c & d \end{pmatrix} \in \Gamma$  e  $c > 0$ , então para cada  $\tau \in H$ , vale*

$$\eta\left(\frac{a\tau + b}{c\tau + d}\right) = \epsilon(A) \{-i(c\tau + d)\}^{1/2} \eta(\tau),$$

onde

$$\epsilon(A) = \exp\left\{ \pi i \left( \frac{a+d}{12c} - s(d, c) \right) \right\}$$

e  $s(d, c)$  é uma soma de Dedekind.

A demonstração que apresentaremos é devida a BASIL GORDON. Nós já sabemos que o teorema vale nos casos especiais  $A = T^m$  e  $A = S$ , basta substituir os respectivos coeficientes  $a, b, c$  e  $d$  para verificar este fato. Sabemos também que qualquer transformação  $A \in \Gamma$  pode ser escrita como um produto (possivelmente envolvendo várias repetições) das transformações  $S$  e  $T$ . O que será demonstrado é que se a equação funcional é válida para uma certa transformação unimodular  $A = \begin{pmatrix} a & b \\ c & d \end{pmatrix} \in \Gamma$ , com  $c > 0$ , então ela também é válida para  $AT^m$  e  $AS$ . A restrição  $c > 0$  não diminui a generalidade do teorema, pois caso  $c = 0$ , então da relação  $ad - bc = 1$ , conclui-se que  $a = d = 1$  e que  $A = T^b$ ; e se  $c < 0$  podemos substituir a matriz  $A$  por  $-A$ , pois elas são equivalentes (correspondem à mesma transformação de Möbius). Estes dois fatos reunidos provarão a equação funcional de Dedekind no caso geral.

A demonstração será feita através de três lemas. Os dois primeiros relacionam  $\epsilon(A)$  com  $\epsilon(AT^m)$  e  $\epsilon(AS)$ . O último concluirá o argumento explicado no parágrafo anterior.

**Lema 3.3.** *Se  $A = \begin{pmatrix} a & b \\ c & d \end{pmatrix} \in \Gamma$  e  $c > 0$ , então para qualquer inteiro  $m$ , tem-se*

$$\epsilon(AT^m) = e^{\pi im/12} \epsilon(A).$$

**Demonstração:** Temos

$$AT^m = \begin{pmatrix} a & b \\ c & d \end{pmatrix} \begin{pmatrix} 1 & m \\ 0 & 1 \end{pmatrix} \begin{pmatrix} a & am + b \\ c & cm + d \end{pmatrix},$$

portanto

$$\epsilon(AT^m) = \exp \left\{ \pi i \left( \frac{a + cm + d}{12c} - s(cm + d, c) \right) \right\}.$$

Mas, pelo Teorema 3.2,  $s(cm + d, c) = s(d, c)$ ; separando o termo  $(cm)/(12c)$ , chega-se ao resultado.

□

**Lema 3.4.** Se  $A = \begin{pmatrix} a & b \\ c & d \end{pmatrix} \in \Gamma$  e  $c > 0$ , então

$$\epsilon(AS) = \begin{cases} e^{-\pi i/4} \epsilon(A) & \text{se } d > 0, \\ e^{\pi i/4} \epsilon(A) & \text{se } d < 0. \end{cases}$$

**Demonstração:** Suponhamos, primeiro, que  $d > 0$ . Temos

$$AS = \begin{pmatrix} a & b \\ c & d \end{pmatrix} \begin{pmatrix} 0 & -1 \\ 1 & 0 \end{pmatrix} = \begin{pmatrix} b & -a \\ d & -c \end{pmatrix}.$$

Daí

$$\epsilon(AS) = \exp \left\{ \pi i \left( \frac{b - c}{12d} - s(-c, d) \right) \right\} = \exp \left\{ \pi i \left( \frac{b - c}{12d} + s(c, d) \right) \right\} \quad (3.3)$$

pois  $-s(-c, d) = s(c, d)$ , pelo Teorema 3.2. A lei da reciprocidade de Dedekind implica que

$$s(c, d) + s(d, c) = \frac{c}{12d} + \frac{d}{12c} - \frac{1}{4} + \frac{1}{12cd}.$$

Substituímos o 1 da última fração por  $ad - bc$ , rearranjamos as frações obtendo

$$\frac{b - c}{12d} + s(c, d) = \frac{a + d}{12c} - s(d, c) - \frac{1}{4}.$$

Se substituirmos esta expressão, em 3.3, obteremos  $\epsilon(AS) = e^{-\pi i/4} \epsilon(A)$ , que é a primeira parte do lema.

No caso  $d < 0$ , usamos a matriz simétrica da anterior  $\begin{pmatrix} -b & a \\ -d & c \end{pmatrix}$  (equivalente à  $AS$ ) essencialmente as mesmas contas obtém a expressão  $\epsilon(AS) = e^{\pi i/4} \epsilon(A)$ . □

**Lema 3.5.** Se a equação funcional de Dedekind

$$\eta(A(\tau)) = \epsilon(A) \{-i(c\tau + d)\}^{1/2} \eta(\tau) \quad (3.4)$$

é satisfeita para algum  $A = \begin{pmatrix} a & b \\ c & d \end{pmatrix} \in \Gamma$ , com  $c > 0$ , então ela é satisfeita para  $AT^m$  e para  $AS$ .

**Demonstração:** Suponhamos que a equação seja satisfeita para  $A$  e substituamos  $\tau$  por  $T^m(\tau)$  em 3.4,

$$\begin{aligned} \eta(AT^m(\tau)) &= \epsilon(AT^m) \{-i(cT^m(\tau) + d)\}^{1/2} \eta(T^m(\tau)) \\ &= \epsilon(AT^m) \{-i(c\tau + mc + d)\}^{1/2} e^{\pi im/12} \eta(T(\tau)) \\ &= \epsilon(AT^m) \{-i(c\tau + mc + d)\}^{1/2} \eta(T(\tau)) \end{aligned}$$

para a última passagem, foi usado o Lema 3.3. Portanto a equação funcional de Dedekind é satisfeita para  $AT^m$  se é satisfeita para  $A$ . Agora a segunda parte, suponhamos ela satisfeita para  $A$ , e substituindo  $\tau$  por  $S(\tau)$ , em 3.4, obtém-se

$$\begin{aligned}\eta(A[S(\tau)]) &= \epsilon(A)\{-i(cS(\tau) + d)\}^{1/2}\eta(S(\tau)) \\ &= \epsilon(A)\{-i(cS(\tau) + d)\}^{1/2}\{-i\tau\}^{1/2}\eta(\tau)\end{aligned}\quad (3.5)$$

pelo Teorema 3.4. Suponhamos inicialmente que  $d > 0$ , reescrevemos

$$cS(\tau) + d = -\frac{c}{\tau} + d = \frac{d\tau - c}{\tau}$$

daí

$$i(cS(\tau) + d) = \frac{-i(-d\tau + c)}{-i\tau}e^{-\pi i/2}$$

pois  $e^{\pi i/2} = i$ . Finalmente

$$\{-i(cS(\tau) + d)\}^{1/2}\{-i\tau\}^{1/2} = e^{\pi/4}\{-i(-d\tau + c)\}^{1/2}.$$

Substituindo esta expressão em 3.5 e usando o Lema 3.4, concluímos que a equação funcional de Dedekind é satisfeita para  $AS$ . O caso  $d < 0$  é análogo.  $\square$

### 3.4 A equação funcional em termos de $F(x)$

A equação funcional para a função  $\eta$  precisa ser reescrita em termos da função  $F(x)$ .

**Teorema 3.6.** *Seja  $F(x) = \prod_{m=1}^{\infty} (1 - x^m)^{-1}$ ,*

$$x = \exp\left(\frac{2\pi ih}{k} - \frac{2\pi z}{k^2}\right) \quad e \quad x' = \exp\left(\frac{2\pi iH}{k} - \frac{2\pi}{z}\right),$$

onde  $\Re(z) > 0$ ,  $k > 0$ ,  $(h, k) = 1$  e  $hH \equiv -1 \pmod{k}$ . Então

$$F(x) = e^{\pi is(h,k)} \left(\frac{z}{k}\right)^{1/2} \exp\left(\frac{\pi}{12z} - \frac{\pi z}{12k^2}\right) F(x').$$

Se  $|z|$  é pequeno, então  $x$  estará muito próximo da raiz da unidade  $e^{2\pi ih/k}$  enquanto  $x'$  estará muito próximo da origem, onde  $F(0) = 1$ . A expressão então descreve o comportamento de  $F(x)$  quando  $x$  está próximo da raiz da unidade  $e^{2\pi ih/k}$ , e a função se comporta, a menos de uma multiplicação por constante, como

$$z^{1/2} \exp\left(\frac{\pi}{12z}\right).$$

**Demonstração:** Se  $\begin{pmatrix} a & b \\ c & d \end{pmatrix} \in \Gamma$  com  $c > 0$ , a equação funcional para  $\eta(\tau)$  pode ser escrita como

$$\frac{1}{\eta(\tau)} = \frac{1}{\eta(\tau')} \{-i(c\tau + d)\}^{1/2} \exp\left\{\pi i \left(\frac{a+d}{12c} + s(-d, c)\right)\right\}$$

onde  $\tau' = (a\tau + b)/(c\tau + d)$ . Como  $F(e^{2\pi i\tau}) = e^{\pi i\tau/12}/\eta(\tau)$ , e da equação acima, temos

$$\begin{aligned}F(e^{2\pi i\tau}) &= F(e^{2\pi i\tau'}) \exp\left(\frac{\pi i(\tau - \tau')}{12}\right) \{-i(c\tau + d)\}^{1/2} \\ &\quad \times \exp\left\{\pi i \left(\frac{a+d}{12c} + s(-d, c)\right)\right\}.\end{aligned}\quad (3.6)$$

Agora definimos  $a = H$ ,  $c = k$ ,  $d = -h$ ,  $b = -\frac{hH+1}{k}$  e  $\tau = \frac{iz+h}{k}$ . Da expressão  $\tau' = (a\tau+b)/(c\tau+d)$ , concluímos que

$$\tau' = \frac{iz^{-1} + H}{k}$$

e a equação 3.6 transforma-se em

$$F\left(\exp\left(\frac{2\pi ih}{k} - \frac{2\pi z}{k}\right)\right) = F\left(\exp\left(\frac{2\pi iH}{k} - \frac{2\pi}{kz}\right)\right) z^{1/2} \\ \times \exp\left\{\frac{\pi}{12kz} - \frac{\pi z}{12k} + \pi is(h, k)\right\}.$$

Se substituirmos  $z$  por  $z/k$ , temos a fórmula do enunciado do teorema. □

---

## CAPÍTULO 4

# A DEMONSTRAÇÃO FINAL

---

**Teorema 4.1.** *Seja  $n \geq 1$  um inteiro. A função partição  $p(n)$  é dada pela fórmula*

$$p(n) = \frac{1}{\pi\sqrt{2}} \sum_{k=1}^{\infty} A_k(n) \sqrt{k} \frac{d}{dn} \left( \frac{\sinh \left\{ \frac{\pi}{k} \sqrt{\frac{2}{3}} \left( n - \frac{1}{24} \right) \right\}}{\sqrt{n - \frac{1}{24}}} \right)$$

onde

$$A_k(n) = \sum_{\substack{(h,k)=1 \\ 0 \leq h < k}} e^{\pi i s(h,k) - 2\pi i n h/k}$$

e  $s(h, k)$  é uma soma de Dedekind, dada por

$$s(h, k) = \sum_{r=1}^{k-1} \frac{r}{k} \left( \frac{hr}{k} - \left[ \frac{hr}{k} \right] - \frac{1}{2} \right).$$

**Demonstração:** Já sabemos que

$$p(n) = \frac{1}{2\pi i} \int_C \frac{F(x)}{x^{n+1}} dx$$

onde

$$F(x) = \prod_{m=1}^{\infty} (1 - x^m)^{-1} = \sum_{n=0}^{\infty} p(n) x^n$$

e  $C$  é qualquer curva bem comportada em  $0 < |x| < 1$ , que dá uma volta em torno da origem  $x = 0$ . A mudança de variáveis

$$x = e^{2\pi i \tau}$$

aplica o disco unitário perfurado  $0 < |x| < 1$  numa faixa vertical de largura 1 no plano  $\tau$ , como mostra a figura da página 5.

Se  $x$  percorre um círculo de raio  $e^{-2\pi}$  com centro em  $x = 0$ , o ponto  $\tau$  percorre o segmento que une os pontos  $i$  e  $i + 1$ . Neste ponto da demonstração, substituímos este caminho pelo caminho de Rademacher  $C_N$ , construído na seção 2.3, que é composto dos arcos superiores dos círculos de Ford correspondentes às frações de Farey de ordem  $N$ . Daí

$$p(n) = \int_{C_N} F(e^{2\pi i \tau}) e^{-2\pi i n \tau} d\tau.$$

A partir deste ponto,  $n$  será mantido fixo, mas  $N$  não. Podemos subdividir o caminho  $C_N$  em vários caminhos  $\gamma(h, k)$  — correspondente a cada fração de Farey  $h/k$  de ordem  $N$ . Por simplicidade de notação, denotarei  $F_N$  o conjunto das frações de Farey de ordem  $N$ . Então

$$p(n) = \int_{C_N} F(e^{2\pi i \tau}) e^{-2\pi i n \tau} d\tau = \sum_{(h/k) \in F_N} \int_{\gamma(h,k)} F(e^{2\pi i \tau}) e^{-2\pi i n \tau} d\tau.$$

Para calcularmos a integral  $\int_{\gamma(h,k)}$ , fazemos a mudança de variável descrita no Teorema 2.4,

$$\tau = \frac{h}{k} + \frac{zi}{k^2}.$$

O Teorema 2.4 mostra que essa mudança aplica o círculo de Ford  $C(h, k)$  em um círculo  $K$  de raio  $1/2$  em torno de  $z = 1/2$ . O arco  $\gamma(h, k)$  é levado no arco de extremidades  $z_1 = z_1(h, k)$  e  $z_2 = z_2(h, k)$ , descrito no Teorema. Temos

$$\begin{aligned} p(n) &= \sum_{(h/k) \in F_N} \int_{z_1(h,k)}^{z_2(h,k)} F \left( \exp \left( \frac{2\pi ih}{k} - \frac{2\pi z}{k^2} \right) \right) \frac{i}{k^2} e^{-2\pi ih/k} e^{2n\pi z/k^2} dz \\ &= \sum_{(h/k) \in F_N} ik^{-2} e^{-2\pi ih/k} \int_{z_1(h,k)}^{z_2(h,k)} e^{2n\pi z/k^2} F \left( \exp \left( \frac{2\pi ih}{k} - \frac{2\pi z}{k^2} \right) \right) dz. \end{aligned}$$

Agora usamos a equação funcional de Dedekind reescrita para  $F(x)$ , descrita no Teorema 3.6. Para

$$x = \left( \exp \left( \frac{2\pi ih}{k} - \frac{2\pi z}{k^2} \right) \right),$$

existe um  $H$  tal que  $hH \equiv -1 \pmod{k}$ . Daí

$$F(x) = e^{\pi is(h,k)} \left( \frac{z}{k} \right)^{1/2} \exp \left( \frac{\pi}{12z} - \frac{\pi z}{12k^2} \right) F(x')$$

para

$$x' = \exp \left( \frac{2\pi iH}{k} - \frac{2\pi}{z} \right).$$

As contas começam a ficar muito grandes, a partir daqui. Vamos simplificar as coisas, definindo

$$\Psi_k(z) = z^{1/2} \exp \left( \frac{\pi}{12z} - \frac{\pi z}{12k^2} \right).$$

Sabemos que  $F(0) = 1$ ; vamos usar um truque comum em análise, que é o de escrever  $F(x')$  como  $1 + \{F(x') - 1\}$ , aí a integral se reparte em duas integrais, e cada uma delas será tratada diferentemente. Obtemos, então,

$$p(n) = \sum_{(h/k) \in F_N} ik^{-5/2} e^{\pi is(h,k)} e^{-2\pi ih/k} (I_1(h, k) + I_2(h, k)) \quad (4.1)$$

onde

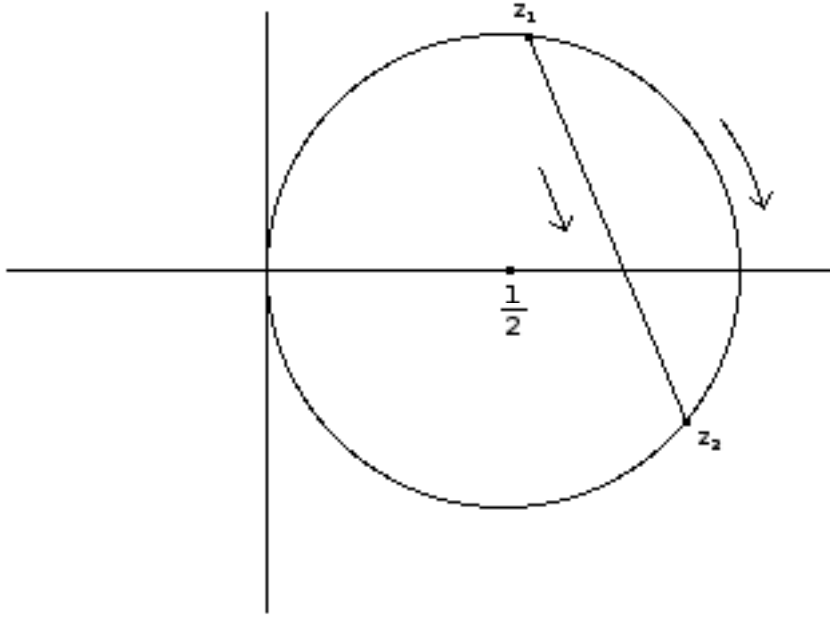
$$I_1(h, k) = \int_{z_1(h,k)}^{z_2(h,k)} \Psi_k(z) e^{2n\pi z/k^2}$$

e

$$I_2(h, k) = \int_{z_1(h,k)}^{z_2(h,k)} \Psi_k(z) \left\{ F \left( \exp \left( \frac{2\pi iH}{k} - \frac{2\pi}{z} \right) \right) - 1 \right\} e^{2n\pi z/k^2} dz.$$

Vamos tratar primeiramente de  $I_2$ ; mostraremos que se tomarmos  $N$  suficientemente grande,  $I_2$  torna-se arbitrariamente pequeno, ou seja, este termo, de certa forma, desaparecerá do nosso cálculo. Vamos ao trabalho.

Podemos mudar o caminho de integração, dentro da expressão de  $I_2$ , pela corda que une  $z_1$  a  $z_2$ , conforme a figura seguinte, e isto não influenciará no cálculo da integral, pois não há singularidades no interior da região formada pelas duas curvas.



Já estimamos o comprimento deste segmento no Teorema 2.5; ele não é maior que  $2\sqrt{2}k/N$ . Para cada  $z$  que está na corda que liga  $z_1$  a  $z_2$ , vale a desigualdade  $|z| \leq \sqrt{2}k/N$ .

Os pontos no círculo e no interior dele são da forma  $z = \frac{1}{2} + re^{i\theta}$  onde  $0 \leq r \leq \frac{1}{2}$ . Precisaremos tratar de  $\Re(1/z)$ ; usando o fato que  $1/z = \bar{z}/|z|^2$ , temos

$$\Re\left(\frac{1}{z}\right) = \frac{\Re(1/2 + r \cos \theta - r \sin \theta i)}{(1/2 + r \cos \theta)^2 + (r \sin \theta)^2} = \frac{1/2 + r \cos \theta}{1/4 + r \cos \theta + r^2} \geq 1,$$

pois  $1/2 + r \cos \theta - (1/4 + r \cos \theta + r^2) = 1/4 - r^2 \geq 0$ , já que  $0 \leq r \leq \frac{1}{2}$ . Para  $r = \frac{1}{2}$ , isto é, quando  $z$  está sobre o círculo  $K$ ,  $\Re(1/z) = 1$ .

Ou seja, para cada  $z$  no círculo  $K$  ou no interior deste círculo, temos  $0 < \Re(z) \leq 1$  e  $\Re(1/z) \geq 1$ , e para  $z$  no círculo vale a igualdade  $\Re(1/z) = 1$ . Agora vamos às estimativas do integrando em  $I_2$ :

$$\begin{aligned} & \left| \Psi_k(z) \left\{ F\left(\exp\left(\frac{2\pi i H}{k} - \frac{2\pi}{z}\right)\right) - 1 \right\} e^{2n\pi z/k^2} dz \right| \\ &= |z|^{1/2} \exp\left\{ \frac{\pi}{12} \Re\left(\frac{1}{z}\right) - \frac{\pi}{12k^2} \Re(z) \right\} e^{2n\pi \Re(z)/k^2} \left| \sum_{m=1}^{\infty} p(m) e^{2\pi i H m/k} e^{-2\pi m/z} \right| \\ &\leq |z|^{1/2} \exp\left\{ \frac{\pi}{12} \Re\left(\frac{1}{z}\right) \right\} e^{2n\pi/k^2} \sum_{m=1}^{\infty} p(m) e^{-2\pi m \Re(1/z)} \\ &< |z|^{1/2} e^{2n\pi} \sum_{m=1}^{\infty} p(m) e^{-2\pi(m-(1/24))\Re(1/z)} \\ &\leq |z|^{1/2} e^{2n\pi} \sum_{m=1}^{\infty} p(m) e^{-2\pi(m-(1/24))} \\ &= |z|^{1/2} e^{2n\pi} \sum_{m=1}^{\infty} p(m) e^{-2\pi(24m-1)/24} \\ &< |z|^{1/2} e^{2n\pi} \sum_{m=1}^{\infty} p(24m-1) e^{-2\pi(24m-1)/24} \\ &= c|z|^{1/2} \end{aligned}$$

onde

$$c = e^{2n\pi} \sum_{m=1}^{\infty} p(24m-1) e^{-2\pi(24m-1)/24}.$$



Este número  $c$  não depende de  $N$  ou de  $z$ , apenas de  $n$ , mas este está fixado desde o começo da demonstração. Já estimamos o integrando de  $I_2$ , ele é  $< c|z|^{1/2}$ , onde  $c$  é uma constante; como  $z$  está na corda que une  $z_1$  a  $z_2$ ,  $|z| < \sqrt{2}k/N$ . Também sabemos que o comprimento de toda a corda é  $< 2\sqrt{2}k/N$ . Juntando a estimativa do integrando e do tamanho do caminho de integração,

$$|I_2(h, k)| < Ck^{3/2}N^{-3/2}$$

para alguma constante  $C$  que não nos interessa. Agora relembro a fórmula 4.1, temos

$$\begin{aligned} \left| \sum_{(h/k) \in F_N} ik^{-5/2} e^{\pi is(h,k)} e^{-2\pi inh/k} I_2(h, k) \right| &< \sum_{k=1}^N \sum_{0 \leq h < k}^{(h,k)=1} Ck^{-1} N^{-3/2} \\ &\leq CN^{-3/2} \sum_{k=1}^N 1 = CN^{-1/2}. \end{aligned} \quad (4.2)$$

Agora vamos cuidar de  $I_1$ ; também é uma integral de  $z_1(h, k)$  até  $z_2(h, k)$  ao longo de um arco do círculo  $K$ . Vamos integrar no círculo todo  $K$ , e mostraremos que o erro entre essas duas integrais também é da ordem de  $N^{-1/2}$ . Omitimos o integrando para simplificar as contas,

$$I_1(h, k) = \int_{K(-)} - \int_0^{z_1(h,k)} - \int_{z_2(h,k)}^0 = \int_{K(-)} - J_1 - J_2.$$

A notação  $K(-)$  indica que o círculo é percorrido no sentido negativo, ou seja, horário. Para estimar  $|J_1|$ , vemos que o comprimento do arco que une 0 a  $z_1(h, k)$  é menor do que

$$\pi|z_1(h, k)| < \pi\sqrt{2} \frac{k}{N}.$$

Já estimamos o tamanho do caminho de integração em  $J_1$ , agora vamos estimar o integrando. Já sabemos que  $\Re(1/z) = 1$  e  $0 < \Re(z) \leq 1$  se  $z$  está no círculo  $K$ , portanto

$$\begin{aligned} |\Psi_k(z) e^{2n\pi z/k^2}| &= e^{2n\pi \Re(z)/k^2} |z|^{1/2} \exp \left\{ \frac{\pi}{12} \Re \left( \frac{1}{z} \right) - \frac{\pi}{12k^2} \Re(z) \right\} \\ &\leq \frac{e^{2n\pi} 2^{1/4} k^{1/2} e^{\pi/12}}{N^{1/2}}. \end{aligned}$$

Daí concluímos que

$$|J_1| < C_1 k^{3/2} N^{-3/2},$$

multiplicando o comprimento do caminho pela cota do integrando; e  $C_1$  é uma constante. De modo similar, se obtém uma estimativa

$$|J_2| < C_2 k^{3/2} N^{-3/2}.$$

Agora lembramos que na expressão 4.1 de  $p(n)$ , surgiu  $I_1(h, k)$  dentro de um somatório  $\sum_{(h/k) \in F_N^*}$ . Fazendo essencialmente a mesma conta que em 4.2, concluímos que a influência destes termos  $J$ , já feito o somatório, na fórmula de  $p(n)$  é da ordem de  $N^{-1/2}$ . E portanto quando  $N$  for tomado suficientemente grande, ele se tornará insignificante. Temos, então, a expressão

$$p(n) = \sum_{k=1}^N \sum_{0 \leq h < k}^{(h,k)=1} ik^{-5/2} e^{\pi is(h,k)} e^{-2\pi inh/k} \int_{K(-)} \Psi_k(z) e^{2n\pi z/k^2} dz + O(N^{-1/2}).$$

Tomamos o limite  $N \rightarrow \infty$ ,

$$p(n) = i \sum_{k=1}^{\infty} A_k(n) k^{-5/2} \int_{K(-)} z^{1/2} \exp \left\{ \frac{\pi}{12z} + \frac{2\pi z}{k^2} \left( n - \frac{1}{24} \right) \right\} dz,$$

onde

$$A_k(n) = \sum_{0 \leq h < k}^{(h,k)=1} e^{\pi is(h,k) - 2\pi inh/k}.$$

Só o que falta é calcular esta integral. O que se faz é uma mudança de variáveis, primeiramente, e em seguida, a integral que se obtém é calculada em termos de funções de Bessel. Os detalhes estão em [7, pág. 109] e [2, pág. 181]. Por fim, chega-se à fórmula de Rademacher

$$p(n) = \frac{1}{\pi\sqrt{2}} \sum_{k=1}^{\infty} A_k(n) \sqrt{k} \frac{d}{dn} \left( \frac{\sinh \left\{ \frac{\pi}{k} \sqrt{\frac{2}{3}} \left( n - \frac{1}{24} \right) \right\}}{\sqrt{n - \frac{1}{24}}} \right).$$

□

---

# REFERÊNCIAS BIBLIOGRÁFICAS

---

- [1] Siegel Carl L. A simple proof of  $\eta(-1/\tau) = \eta(\tau)\sqrt{\tau/i}$ . *Mathematika*, 1(4), 1952.
- [2] Watson G. N. *A Treatise on the Theory of Bessel Functions, Second Edition*. Cambridge University Press, Cambridge, 1962.
- [3] Andrews George E. *The Theory of Partitions*. Cambridge University Press, Cambridge, 1984.
- [4] Serre Jean-P. *Cours d'Arithmétique, 2ed*. Presses Universitaires de France, Paris, 1977.
- [5] Conway John. *Functions of One Complex Variable*. Springer Verlag, New York, 1973.
- [6] Apostol Tom M. *Mathematical Analysis*. Addison-Wesley Publishing Company, Inc., Massachusetts, 1958.
- [7] Apostol Tom M. *Modular Functions and Dirichlet Series in Number Theory, Second Edition*. Springer Verlag, New York, 1990.